

تحسين جودة الخدمة في الشبكات المعرفة بالبرمجيات بناءً على خوارزمية توجيه متكيّف مع تغييرات النطاق الترددّي

أحمد زيدان^{*} طلال حمود²

^{*}. طالب دكتوراه، كلية الهندسة الميكانيكية والكهربائية، جامعة دمشق، اتصالات متقدمة.

ah.zaidan88@damascusuniversity.edu.sy

². أستاذ، دكتور، مهندس في كلية الهندسة الميكانيكية والكهربائية، جامعة دمشق.

talal64.hammoud@damascusuniversity.edu.sy

الملخص:

أصبحت المؤتمرات الفيديوّية وسيلة اتصال سائدة حاليًا على شبكة الانترنت، ولكنها تواجه مشاكل يمكن أن تؤثّر بشكل مباشر على جودة الخدمة. تؤثّر التغييرات السريعة وبشكل العشوائي في عرض النطاق الترددّي على جودة الصورة والصوت للمشاركين في مؤتمر الفيديو والمتصلين بالشبكة عبر طرق اتصال خلوى مثل نقاط الولوج LTE Access Points، وخاصة مع تزايد كثافة أعداد المستخدمين لخدمة الانترنت. ولذلك، تجد الشبكات التقليدية صعوبة في اكتشاف تلك التغييرات والتعامل معها بالزمن الحقيقي. أمام هذا الواقع، توفر الشبكات المعرفة بالبرمجيات SDN مرونة أكبر للتعامل مع هذه المشكلة وبكماءة أفضل مقارنةً مع الشبكات التقليدية. تسمح الإدارة المركزية والرؤية الشاملة لظروف الشبكة SDN Controller بكماءة أكبر، بإدارة التغييرات الحاصلة فيها عبر المُتحكمات SDN Controller، بالإضافة إلى تحسين جودة تجربة بالنسبة للمشاركين في المؤتمر الفيديو. نناقش ونقترب في هذا العمل خوارزمية توجيه متكيّفة مع التغييرات السريعة في عرض النطاق الترددّي والناتجة غالباً عن أحداث مناولة. تمتاز الخوارزمية المقترحة بأنها ذات تعقيد حسابي منخفض لتكييف تدفق بيانات الفيديو بين المشاركين في المؤتمر بناءً على التغييرات اللحظية في عرض النطاق الترددّي المتاح لكل مشارك. وبالتالي تحسين جودة الخدمة، من خلال تقليل زمن المعالجة وتحفيض متطلبات عرض النطاق الترددّي المستهلك ضمن الشبكة جنباً إلى جنب مع تقليل استهلاك موارد وحدة التحكم نتيجة اعتماد مفهوم الشبكة SDN.

الكلمات المفتاحية: الشبكات المعرفة بالبرمجيات – جودة الخدمة – جودة التجربة – عرض النطاق الترددّي – مؤتمر فيديو – ترميز الفيديو القابل للتطوير – الارسال الأحادي – أشجار الإرسال المتعدد – قواعد التكيّف – المناولة أو التسليم – شجرة الامتداد

تاريخ الاداع: 2023/1/25
تاريخ القبول: 2023/12/11



حقوق النشر: جامعة دمشق – سوريا، يحتفظ المؤلفون بحقوق النشر بموجب CC BY-NC-SA

Improving QoS in Software Defined Networks based on Adaptive Routing Algorithm to the Bandwidth variations

Ahmad Zidane^{1*} Talal Hammoud²

*¹. PhD student, Faculty of Mechanical and Electrical Engineering, Damascus University, Advanced Connections.

ah.zaidan88@damascusuniversity.edu.sy

².Professor, Mechanical and Electrical Engineering, Damascus University,
talal64.hammoud@damascusuniversity.edu.sy

Abstract:

Video conferencing has become a prevalent means of communication now on the Internet, but it faces problems that can directly affect the quality of service (QoS). Rapid and almost-random variations in bandwidth (BW) affect the image and sound quality of video conference participants who are connected to the network through cellular terminals such as LTE Access Points, especially with the increasing number of Internet users. Therefore, traditional networks find it difficult to detect those variations and deal with them in real time. Facing this reality, SDN provides greater flexibility to deal with this problem and with better efficiency compared to traditional networks. Centralized management and comprehensive visibility of SDN conditions allow for more efficient management of dynamic variation via SDN controllers, relying, for example, on routing algorithms aimed at obtaining the best quality experience for videoconference participants. In this work, we discuss and propose a routing algorithm that is adaptive to rapid variations in BW often caused by handover events. The proposed algorithm has low computational complexity to adapt the video data stream between conference participants based on the instantaneous changes in available bandwidth for each participant. Thus, improving QoS, by reducing the processing time and the average bandwidth consumed within the network along with reducing the consumption of the console resources as a result of adopting the SDN concept.

Keywords: software-defined networks (SDN) - Quality Of Service (QoS) - quality of experience (QoE) – Bandwidth (BW) – Video Conference – Scalable Video Coding (SVC) – Unicast – Multicast Tree – Adaptation Rules – Handover -Spanning Tree.

Received: 25/1/2023

Accepted: 11/12/2023



Copyright: Damascus University- Syria, The authors retain the copyright under a CC BY- NC-SA

المقدمة:

بالبرمجيات (SDN) Software Defined Networking طرقة جديدة لإدارة النطاق الترددي للشبكة والتعامل مع تغييراته اللحظية، فالشبكة المعرفة بالبرمجيات، لديها وجهة نظر مركبة تسمح بإدارة التغيرات الحاصلة في الشبكة بكفاءة أكبر.

اقترح الباحثون [1] خوارزميات توجيه تستخدم SDN لإنشاء أشجار اتصال متعددة البث Multicast Adaptive Trees بحيث تكون تكيفية و جنباً إلى جنب مع اعتماد ترميز الطبقات للفيديو Scalable Video Coding (SVC) [2]. الهدف الرئيسي من هذا البحث [1] كان توفير استهلاك النطاق الترددي للشبكة توفرهاً متكيفًا مع عدم تجانس أجهزة المشاركين، بمعنى التكيف مع ظروف التغيرات السريعة الحاصلة في وصلة ارتباط كل منهم بالشبكة العامة.

في الحقيقة، طرح المرجع [1] مسألة مهمة ألا وهي مسألة تأثير تغيرات عرض النطاق الترددي على جودة الخدمة للمشاركين بمكالمة الفيديو والمتصلين بالشبكة وهو وبالتالي يطرح مسألة مهمة جداً، رغم قدمه، كما نعتقد، وذلك من حيث أن اضطرابات حزمة الاتصال الترددية المتاحة لوصلات الاتصال بين المشتركين تؤثر على جودة المكالمة وذلك بحسب طريقة اتصالهم بالانترنت (وهي طريقة الاتصال عن طريق اتصال خلوبي كما في سيناريو مناقشتنا في هذا البحث) وبحسب طبيعة هذا الاتصال من حيث تأثيرات المناولة Handover على عرض الحزمة المتاحة للمشترك وبالتالي على جودة الخدمة في حال ساعات طريقة الاتصال تلك عند المشترك نتيجة تحركه في الوقت الذي يشارك فيه الآخرين مكالمة فيديوية.

ولكن، الخوارزميات المقترحة في [1] لا تأخذ في الاعتبار التكيف الديناميكي مع عرض النطاق الترددي المتغير لحظياً بمرور الزمن، فيكون الحل الوحيد لاستخدام تلك الخوارزميات ضمن سياق ديناميكي هو فقط عن طريق تشغيلها بشكل آلي مرات متتالية عند حدوث تغير ما عند أحد أطراف المشاركين بمؤتمر الفيديو، وبالتالي زيادة التكلفة من حيث الوقت والموارد المخصصة لمنظومة اتصال الفيديو عموماً. نقترح في هذا

أصبحت مؤتمرات الفيديو وسيلة اتصال سائدة، ولكنها تعاني غالباً من ضعف جودة التجربة Quality of Experience (QoE). تتأثر جودة التجربة، إثناء مؤتمر الفيديو، بشكل أساسي بخصائص أجهزة الاتصال للمشاركين والتي تكون غير متجانسة في أغلب الأحيان، وعلى وجه التحديد خاصية سعة قناة الاتصال. عموماً، تُعد القناة اللاسلكية وسيط وصول مشترك، ويختلف النطاق الترددي المتاح باختلاف عدد المضيفين المتنافسين على هذه القناة، على سبيل المثال، حالة المتصلين بالإنترنت عبر جهاز بث شبكة منزلي Router. كما أنه في الشبكات اللاسلكية، يتعرض عرض النطاق الترددي المتاح لتغيرات سريعة سببها العوائق المادية في بيئة الاتصال والتي تسبب ظاهرة الخفوت Fading، ناهيك عما تسببه الحالة الحرارية للمشترك بالنسبة لعقدة الاتصال اللاسلكي من مشاكل لها علاقة بمسألة المناولة أو التسلیم Handover في حال كان اتصال المشترك بالإنترنت عبر نظام اتصال خلوبي (مثل شبكة الجيل الرابع LTE-A على سبيل المثال لا الحصر). إذاً تنتج تلك التغيرات السريعة غالباً عن التداخل والفشل في جودة الوصلة الراديوية (RLF) Radio Link Failure، وهذاطبعاً يختلف من شبكة وصول إلى أخرى، بالإضافة إلى مشاكل التشوش الحاصلة في القناة وإشارات الضجيج التي تؤثر على الاتصال بشكل عام. وبالتالي، يمكن أن يسبب أي مما سبق منع ارتباط المشترك بالشبكة (انقطاع الاتصال)، أو على أقل تقدير يُصبح المشترك ملزماً بسرعة نطاق تردد تغدو منخفضة نتيجة تلك المشاكل، مما يؤدي إلى عدم القدرة على إرسال أو استقبال دفق عالي الجودة من البيانات المتراسلة بين المشارك في مؤتمر الفيديو وبباقي المشاركين، بغض النظر عن خصائص جهاز الاتصال له (أي مهما كان جهاز الاتصال حديثاً ومتطولاً). في هذا السياق، تجد الشبكات التقليدية صعوبة في اكتشاف تغيرات النطاق الترددي للتعامل والتكيف معها في الزمن الحقيقي Real Time، بينما توفر الشبكات المعرفة

زيدان، حمود

تحسين جودة الخدمة في الشبكات المعرفة بالبرمجيات بناءً على.....

ناتج لمواجهة مشكلة التغيرات اللحظية في عرض النطاق التردد المتأخر لكل المشاركين مهما اختلفت ظروف اتصالهم. من هذا المنطلق، نقايض Trade-off بين جودة تجربة الفيديو QoS وبين جودة خدمة تراسل الفيديو QoE. هدف الباحثون في [1] إلى تقليل مستوى استهلاك النطاق التردد في الشبكة الأساسية عن طريق إجراء حساب دقيق لأشجار الإرسال SVC المتعدد Multicast Trees ووضع قواعد تكيف الترميز Adaptation Rules بشكل مناسب داخل الشبكة. بينما المشكلة التي تعالجها في عملنا الحالي فهي مزدوجة من حيث منحى، الأول: الإجابة عن السؤال كيف تتصرف شبكة منظومة اتصال الفيديو في سياق ديناميكي (في مواجهة اختلاف والتغيرات اللحظية لعرض النطاق)؟ الثاني: كيف يمكن تصميم خوارزميات توجيه أقل تكلفة وأكثر تفاعلاً لتكيف تدفقات بيانات الفيديو عند حدوث تلك التغيرات؟

1-2: الأعمال ذات الصلة:

ما يزال مفهوم الشبكات المعرفة بالبرمجيات في طور التطوير، والأبحاث المتعلقة به ما تزال محاورها عشوائية غير ناضجة وغير محددة بشكل مباشر، لذلك تعدد الأفكار حول تحسين جودة الخدمة في هذا النمط الجديد من هيكلية الشبكة وتعدد وجهات النظر حول الحالة الفنية للشبكة SDN التي يجب التركيز عليها وتطويرها. في هذا السياق، نجد أنَّ المرجع [1] هو الوحيد الذي فكر باحثوه على حد علمنا، رغم قدم نشره، في موضوع تكيف شبكة معرفة بالبرمجيات مع تغير عرض النطاق التردد للمشترك في مكالمة الفيديو أو نقل الفيديو. في المقابل، نجد مراجع حديثة تجادل في موضوع تحسين جودة الخدمة للتراسل الفيديوي في الشبكات المعرفة بالبرمجية من محور آخر كلياً مثل المرجع [31] الذي يناقش موضوع تحسين الجودة من حيث محور التعلم المعزز Reinforcement learning. ثم نجد إلى أفكار مرجع آخر مثل المنطق الضبابي fuzzy logic [30]، وأبحاث مثل تحسين جودة الخدمة من خلال فكرة موازنة الحمل A Load Balancing [32].

العمل خوارزمية توجيه متكونة ذات تعقيد حسابي أقل وتنطلب وقتاً وموارد شبكة أقل أيضاً، مع تخفيض استهلاك النطاق التردد في الشبكة العامة للاتصال. نقوم بتقييم هذه الخوارزميات من خلال عمليات المحاكاة ومقارنتها بخوارزميات [1]. تظهر نتائج المحاكاة أن وقت معالجة الحل المقترن أقل بكثير من وقت معالجة الخوارزميات التقليدية. علاوة على ذلك، فإنه يحقق نفس توفير عرض النطاق التردد، وهذا يشير إلى أنَّ الحل الجديد أكثر تكيفاً في سياق ديناميكي للشبكة ككل ويوفر تفاعلاً عالياً وجودة خدمة عالية للمستخدمين، مع تقليل استهلاك موارد وحدة التحكم.

1- مقتضيات إدارة مؤتمر الفيديو متعدد البث:

1-1: عرض المشكلة:

نتعامل في هذا العمل مع منظومة مكالمات الفيديو متعددة الأطراف حيث يرسل جميع المشاركين دفق بيانات الفيديو الخاص بهم ويستقبلون مكالمات المشاركين الآخرين. في هذه المنظومة، يكون لكل دفق بيانات فيديو مُرسِل واحد والعديد من أجهزة الاستقبال. أي أنها منظومة متعددة الأطراف (متعددة البث Multicast)، حيث أنَّ طريقة الإرسال الأحادي (أحادي الطرف Unicast) تمثل في بناء مسار بين كل زوج من المشاركين، بينما يتكون أسلوب الإرسال المتعدد (المنظومة التي نتعامل معها) من حساب شجرة اتصال من كل مرسِل إلى كل أجهزة الاستقبال. نفترض هنا، أن تقنية الترميز متعدد الطبقات (SVC) لتكيف دفق بيانات الفيديو متوفرة تكنولوجياً على كل مبدلة افتراضية مفتوحة المصدر Open vSwitch على شبكة SDN المعتبرة. وبالتالي، في هذه الحالة يعد تكيف دفق بيانات الفيديو هو عملية إسقاط dropping (إهمال) طبقات الفيديو عالية الجودة للسماح بوصول طبقات الفيديو الأدنى (تقابل مستوى منخفض الجودة من ترميز الفيديو) لصالح استمرار اتصال الفيديو بين المشاركين، بمعنى أننا نعطي أولوية هنا لاستمرار بث الفيديو حتى ولو كانت بجودة منخفضة على حساب متطلبات جودة خدمة كبيرة جداً وهذا حل

الذكية Smart Cities. ففي [28]، جرى اقتراح خوارزمية جودة الخدمة الديناميكية عبر SDN لتحديد المسار الأمثل الذي يتافق مع جودة الخدمة للفيديو من أجل تحسين جودة تجربة المشاركين في مكالمة الفيديو، بحيث جرى التركيز تكيف جودة الخدمة مع مُعامل حركة المرور traffic على أساس دقة مشاهدة الفيديو (SD) و High Definition (HD). ووضحت النتائج أن الطريقة المقترنة في [28] حصلت على جودة مشاهدة أفضل لبيئة المجتمع الذكية وتزيد من الإنتاجية الإجمالية Throughput للشبكة.

وأخيراً وليس آخرًا، يقترح الباحثون في العمل [29] تقنية تعتمد على تصنيف تدفق بيانات الفيديو للتمييز بين التدفقات المعروضة للازدحام وتلك غير المعروضة للازدحام وإعادة توجيهها على طول المسارات المناسبة لتجنب الازدحام والضياع. وتم دمج هذه التقنية في وحدة تحكم شبكة مبنية على مفهوم SDN لتوجيه اختيارات المسارات المناسبة لكل فئة من فئات حركة المرور لبيانات الفيديو. وقد أدى النهج المقترن في [29] إلى تقليل استهلاك النطاق التردددي من خلال رفع إنتاجية الشبكة.

بشكل خاص، فيما يخص محور بحثنا هنا، يُعد استخدام البث المتعدد للتعامل مع مكالمات متعددة الأطراف Multi-Party Calls نهجاً طبيعياً ويجري البحث فيه منذ تطوير اتصالات الوسائط المتعددة Multimedia Telecommunication تحقيق هذا البث المتعدد إلى جانب اعتماد تقنيات ترميز الفيديو مثل SVC، فإنه يوفر آليات لإدارة مكالمات الفيديو مع توفير تدفقات جودة مختلفة للمشاركين. على سبيل المثال، تستخدم بعض الأعمال من [3] و [5] هذه الآليات لتحسين جودة تجربة المشاركين. ومع ذلك، لا يمكن إجراء تعديل على طبقات الفيديو في هذه الأعمال إلا على مستوى طبقة التطبيق Application Layer، وبالتالي لا يمكن النظر إلى مسألة استهلاك النطاق التردددي للشبكة الأساسية. ولكن مع ظهور مفهوم SDN، استخدمت العديد من الأعمال نموذج البث

بشكل عام، يمكن اعتبار المرجع [26] ذي صلة بموضوع بحثنا هنا من حيث أنه يحسن جودة الخدمة على مستوى استهلاك النطاق التردددي ويعامل مع شبكات معرفة بالبرمجيات، ولكن ليس من حيث بث مؤتمرات الفيديو عبر شبكات الاتصالات الأرضية، بل الفضائية (سانلية). ففي [26] تم إنشاء بنية شبكة سانلية تعتمد على الشبكات المعرفة بالبرمجيات (SDN)، ثم جرى اقتراح خوارزمية توجيه تكيفية يمكنها تلبية متطلبات جودة الخدمة المختلفة. واظهرت نتائج المحاكاة فيه أنه بالمقارنة مع خوارزمية شبكات الأقمار الصناعية المعرفة بالبرمجيات SDRA وخوارزمية توجيه المسار الشائعة في الشبكات التقليدية Dijkstra، فإن خوارزمية التحسين في [26] تتمتع بأداء أفضل فيما يخص استهلاك النطاق التردددي.

بالمقابل، وفيما يخص نقل الفيديو لأحداث شعبية مثل مباريات كرة القدم من الملاعب مباشرةً، لا تستطيع استراتيجيات التوجيه في الشبكات التقليدية تحقيق جودة خدمة مطلوبة، وبالتالي لا يمكن ضمان أداء جيد لتجربة المشاهدة للمستخدمين. ففي [27]، جرى استخدام الشبكات المعرفة بالبرمجيات (SDN) لتحسين جودة الخدمة (QoS) لتطبيقات أحداث كرة القدم الحية الخاصة، والتي يتم فيها اقتراح آلية توجيه QoS، سميت LSEA. وفي الوقت نفسه، جرى اعتبار استهلاك النطاق التردددي من بين مؤشرات الأداء. وعلى هذا الأساس، تم في [27] وضع خوارزمية توجيه Dijkstra المحسنة وخوارزمية التوجيه المنفصلة القائمة على SDN وجرى تفزيذ خوارزمية LSEA المقترنة فيه على برمجية Mininet، وأظهرت النتائج التجريبية جدواها وكفاءتها.

أيضاً، يجادل الباحثون في [28]، في أن خدمة الإنترنت الحالية لا تضمن جودة الخدمة مطلوبة في حين أن الشبكات المعرفة بالبرمجيات (SDN) هي نهج يهدف إلى فصل التحكم في الشبكة (مثل أوامر إعادة التوجيه) للحصول على إدارة وتحسين أفضل من خلال التركيز على مبدلات OVS، مما يعزز بوضوح تخطيط وتطوير الاتصالات في المجتمعات الحضرية

زيدان، حمود

مرسل ما، وهكذا دواليك. وفي كل خطوة، يُحسب أقصر مسار بين شجرة الإرسال المتعدد الحالية ونقطة الاستقبال التالية. تعمل الخوارزميات على توفير نطاق تردد جيد جداً مع توفير أقصى جودة تجربة للفيديو لكل مشارك يمكن أن يتلقاها. ومع ذلك، لم يتم تقييم هذه الطريقة في سياق ديناميكي، أي في ظل تغيرات لحظية لعرض النطاق التردد لقناة الوصول سواء أجري هذا التغيير من طرف المرسل أو من طرف أجهزة استقبال المشاركين المرتبطين به، وهذا التغيير اللحظي هو مسألة واقعية لا بدّ من مواجهتها والتطرق إليها في الشبكات الحالية التي يُراد تراسل بيانات فيديو عبرها وخاصة الشبكات الضخمة مثل الشبكة العنكبوتية، وذلك لكون الاستهلاك العالي للنطاق التردد مشكلة متفاوضة، فمن حيث المبدأ ليس من الضرورة اعتماد معدلات نقل بِث Bit-Rates عالية جداً لوصلة صاعدة من المشترك باتجاه الشبكة في حال كانت وصلة الراديوية بحالة فشل أو مشكلة ما، ولذلك يجب هنا، عدم اعتماد هذا قيم معدل نقل البِث طالما أن ظروف الوصلة الصاعدة لا تسمح إلا بنطاق تردد منخفض وبالتالي وجَب تفريه بشكل تكيفي عبر إدارة الشبكة نفسها بشكل مركزي، وهذا هو بيت القصيد للشبكات المعرفة بالبرمجيات.

هناك مؤلفات كثيرة حول توجيه مكالمات الفيديو مع الأخذ بعين الاعتبار التغيرات اللحظية للنطاق التردد. على سبيل المثال، العمل [9] يوفر بنية شبكة والعديد من الآليات لتغيير دفق بيانات الفيديو بحيث يجري التكيف مع تغيرات الازدحام وعرض النطاق التردد المتاح. يحقق العمل المذكور في كل من طرق الإرسال الأحادي والبِث المتعدد، ولكن يتم تنفيذ التحكم في الازدحام على مستوى طبقة التطبيق، وبالتالي فقط عند نقاط نهاية الاتصال دون الخوض في حل الشبكة المعرفة بالبرمجيات. يبحث مؤلفو الورقة [10] في تأثير الازدحام واختلاف النطاق التردد بين المشاركين في مكالمة فيديو عبر البرنامج المألوف Skype. ومع ذلك، فإن دراسة الحال في [10] تشمل مضيفين فقط (مكالمة فيديوية من شخص آخر

تحسين جودة الخدمة في الشبكات المعرفة بالبرمجيات بناءً على.....

المتعدد لتحسين جودة تجربة المشاركين وتبسيط إدارة الشبكة مثل الأعمال من [6] إلى [8] حيث تقترح هذه الأعمال أن وحدة تحكم SDN تدير بشكل مباشر العملية كاملة وهي المسؤولة عن بناء شجرة الإرسال المتعدد واختيار طبقات الفيديو لكل وصلة بين عقدتين ضمن الشبكة. في حين أن بعض الأعمال وصل إلى تقليل استهلاك النطاق التردد ولكنه في نفس الوقت خفض من جودة دفق بيانات الفيديو عالي للمشاركين، بينما البعض الآخر وفر دفق بيانات فيديو عالي الجودة ولكن بالمقابل حقق مستوى استهلاك كبير لعرض النطاق التردد، على سبيل المثال، في [8]، يقوم الباحثون ببناء شجرة توجيه متعددة البِث لكل طبقة فيديو من طبقات الترميز SVC المتاحة، وهذا ليس الحل الأمثل لتوفير عرض النطاق التردد، لأنه من الممكن أن يحصل تدهور في وصلة أحد المشاركين وبالتالي لا تغدو قادرة على نقل طبقات أعلى من الترميز SVC. في هذا السياق اقترح الباحثون في [1] حلّ لتوفير أفضل جودة تجربة فيديو ممكنة للمشاركين وفي نفس الوقت تقليل استهلاك النطاق التردد في الشبكة الأساسية SDN. يتمثل الحل المقترن في إنشاء شجرة لكل مُرسل (جذر الشجرة) إلى المستقبلات (أوراق نفس الشجرة بحيث يمكن اختيار مجموعة جزئية من جميع طبقات الترميز SVC) ثم وضع قواعد لتكييف طبقات الترميز SVC في حال تدهور جودة الفيديو، ووضعها على نظام تشغيل أجهزة مُبدلات شبكة SDN. جرى اقتراح خوارزميتين لبناء الشجرة في [1]: الأولى تحسب أقصر مسار للشجرة (SPT)، والتي تحسب أقصر مسار بين كل مُرسل والمشاركين الآخرين (المستقبلات) المرتبطين به، والثانية إجراء تصغير حجم شجرة الامتداد Minimizing Spanning Tree (MST)، ويجري تنفيذ كل من الخوارزميتين السابقتين بشكل تكراري iteratively. تحسب خوارزمية MST أولاً أقصر مسار بين المرسل والمستقبل الأول (وفقاً لقاعدة تصنيف محددة لطول المسار)، ثم أقصر مسار بين أي عقدة في المسار السابق والمستقبل الثاني في شجرة

2-3: الحل المقترن:

من منظور توفير أعلى جودة ممكنة لمكالمة الفيديو لكل مستقبل جنباً إلى جنب مع تخفيض استهلاك عرض النطاق الترددية إلى الحد الأدنى، تُجري أولاً تقييم الخوارزمية في العمل [1] في ظل التغيرات العشوائية لعرض النطاق الترددية سواء بالنسبة لوصلة ربط المرسل أو وصلات ربط المستقبليين في شجرة الشبكة التي تجمعهم. يتضمن الحل المقترن تشغيل الخوارزمية التي تحسب أشجار البث المتعدد أولاً ومن ثم استبدال قواعد التكيف عند كل تغيير حاصل في عرض النطاق الترددية، والذي قد يكون مكلفاً من حيث الزمن والموارد المتاحة في الشبكة. يجري وبالتالي اقتراح خوارزميات متربطة لا تعيد بناء أشجار البث المتعدد في كل مرة يجري فيها تراسل بيانات مكالمة الفيديو، ولكنها تنظم قواعد التكيف مع تغيرات عرض النطاق الترددية على النحو الأمثل بحيث لا يحصل استهلاك معدلات بث مرتفعة لنقل البيانات وفي نفس الوقت ضمان استمرارية جودة مقبولة لخدمة مكالمة الفيديو. لا يتطلب هذا الحل أي حساب للمسار (لأنه لا يجري إعادة حساب أشجار الربط بين المرسلين والمستقبلين لبيانات الفيديو) ولكنه يتطلب فقط تعديل قواعد تعيين معدلات نقل البث في كل وصلة ضمن بيان الشبكة Graph Network بطريقتين: التكيف للأعلى

صغيراً، مما يؤدي إلى تحسّن كبير في التعقيد الحسابي لخوارزمية التوجيه ووقت المعالجة والتفاعل بين المشاركين، وهذا يعني جودة تجربة فيديو فعالة. يجري تطوير الخوارزميات الخاصة بعملنا هذا بالاستناد إلى تلك الخاصة بالعمل [1] والتي لا يزال من الممكن استخدامها لبناء أشجار أولية متعددة للبث، ولكن مع تطوير قواعد التكيف مع تغيرات لحظية لعرض النطاق الترددية بالزمن الحقيقي لمكالمة الفيديو.

3-نموذج النظام والخوارزميات المطورة:

3-1: افتراضات تقنية:

فقط)، ومرة أخرى، يتم تنفيذ آلية التكيف على مستوى طبقة التطبيق. ترَكز بعض الأعمال الأخرى على تحقيق إدارة تفاعلية مع اختلاف النطاق الترددية بين المشاركين في مكالمة فيديو، على سبيل المثال، العمل [11] يقترح نهجاً لنقل الفيديو متعدد الطبقات حيث يتم تقدير معدل البت مباشرةً على مستوى الطبقة الفيزيائية Physical Layer، مما يسمح بالتكيف السريع مع عرض النطاق الترددية الجديد في كل لحظة جديدة أثناء المكالمة. من جهة أخرى، جرى التحقيق في النهج الجديد لنقل Pseudo Analog Video الفيديو التاظري الزائف Transmission، والذي يسمح بالتكيف المباشر لجودة دفق بيانات الفيديو وفقاً لمواضيع (ضجيج) القناة، كما في [12]، [13]. يتمثل عيب هذه الأعمال المذكورة لمكالمة الفيديو في ظل اختلاف عرض النطاق الترددية في أن تكيف جودة الفيديو تعالج فقط عند نقاط النهاية (عند طرف أجهزة المشاركين وليس عبر إدارة مركبة أي ليس عن طريق الشبكة المعرفة بالبرمجيات). بكل الأحوال، وفي حالة نهج الإرسال المتعدد، يتربّط على المعالجة عند نقاط النهاية فقط نتائجتان: 1) إذا أُجري تكيف جودة الفيديو عند المرسل، فسوف يتكيّف هذا المرسل (عبر خوارزمية التوجيه المعتبرة)، فقط مع جودة الفيديو لنقطة الاستقبال ذات النطاق الترددية الأدنى. وهذا يعني أن أجهزة الاستقبال ذات النطاق الترددية الأعلى لا يمكنها الاستفادة من الجودة المقابلة لقناة الوصول الخاصة بها، أي أنها فعلياً ليست مستفيدة من النطاق الترددية الأعلى المتاح لها، ومن هذا المنطلق نقول أن النطاق الترددية جرى استهلاكه دون استخدامه وهذا عيب أساسي في منظومة شبكة الاتصال ووجب حلّه. 2) إذا أُجري التكيف عند أجهزة الاستقبال فقط، يتعين على المرسل عندئذ إرسال تدفق بيانات أعلى جودة من خلال شجرة الإرسال المتعدد المحسوبة، مما يعني الحاجة إلى مستوى أعلى من استهلاك النطاق الترددية في الشبكة الأساسية (الحاجة إلى نطاق ترددية أعلى لتوفير تدفق بيانات عالي الجودة ذاك).

(1) أَهْمَ مُعَالِمَاتِ النَّسَمَ المَدْرُوسَ فِي هَذَا الْبَحْثِ، وَقَدْ تَمَ اعْتِمَادُ القيِمِ الْوَارِدةِ فِيهِ بِنَاءً عَلَى: ١- اعْتِبَارِ الْوَصَلَاتِ الَّتِي يَتَصَلُّ وَفَقَهَا الْمَشَارِكُونَ بِالْفِيُوْدِيُو مَعَ الشَّبَكَةِ هِيَ وَصَلَاتِ اتصَالِ رَادِيوِيَّةِ خَلْوَيَّةِ وَفِي نَسَمِ الاتِّصالِ LTE كَمَا يَبَيِّنُ السَّطَرُ الْأَوَّلُ مِنَ الجَدُولِ (١)، ٢- اعْتِبَارِ طَرِيقَةِ التَّرمِيزِ الْمَتَاحَةِ لِحَزْمِ الْفِيُوْدِيُو هِي SVC وَهَذِهِ الطَّرِيقَةُ تَتَحِيلُ أَرْبَعَ طَبَقَاتَ شَبَكَةِ SDN لَهَا مَتَحْكِمٌ مَركَزِيٌّ فَتَكُونُ حَزْمَةُ الاتِّصالِ بَيْنَهُ وَبَيْنَ الْمَبَدَلاتِ OVS الْمَرْتَبَطَةِ بِهِ وَفِي مَعيَارِ شَبَكَةِ SDN هِيَ بِأَقصَى Gbps ١. كَمَا هُوَ مُبَيِّنُ فِي الجَدُولِ (١) هُنَاكَ ٤ طَبَقَاتٍ عَلَى الْأَكْثَرِ لِتَدْفُقِ بَيَانَاتِ التَّرمِيزِ SVC عَلَى خَرْجِ الْمَبَدَلةِ OVS بِحِيثُ يُمْكِنُ أَنْ يَرْتَقِعَ مُعَدَّلُ نَقْلِ الْبَيْتِ الْمَتَاحِ فِي كُلِّ مُبَدِّلٍ بِشَكَلِ تَصَاعِديٍّ مِنَ الطَّبَقَةِ الْأُولَى إِلَى الطَّبَقَةِ الْأَرْبَعَةِ، وَبِحِيثُ لَا يُمْكِنُ اسْتِخَادُ طَبَقَةِ مَعِينَةٍ إِلَّا إِذَا أَمْكَنَ اسْتِخَادُ جَمِيعِ الطَّبَقَاتِ الْأَدْنَى مِنْهَا أَيْضًا. بِالإِضَافَةِ إِلَى ذَلِكَ، فَنَفَرَضَ أَنَّ كُلَّ جَهَازٍ (الْإِرْسَالُ/الْإِسْتِقْبَالُ) لِكُلِّ مَشَارِكٍ فِي مَكَالِمَةِ الْفِيُوْدِيُو يُمْكِنُ أَنْ يَقْبِلَ أَكْبَرَ عَدْدَ مِنْ طَبَقَاتِ التَّرمِيزِ SVC المُسَمَّوحُ بِهِ مِنْ خَلَالِ سُعَةِ الْوَصَلَةِ الْهَابِطَةِ الْخَاصَّةِ بِهِذَا الْمُشَتَّرِكِ، فَإِذَا لَمْ يَكُنْ لِدِيِّ الْمَشَارِكِ نَطَاقٌ تَرَدِيدِيٌّ كَافٍِ لِلِإِسْتِقْبَالِ أَيِّ طَبَقَةٍ مِنَ الطَّبَقَاتِ الْأَرْبَعَةِ الْمَتَاحَةِ فِي الشَّبَكَةِ كُلَّ، فَسَيَتَمُ رُفُضُ مَكَالِمَةِ الْفِيُوْدِيُو الْخَاصَّةِ بِهِ، وَهَذَا مَبْدَأٌ أَسَاسِيٌّ فِي عَمَلِ مَنظَوَمَةِ الاتِّصالِ الْمُعَتَبَرَةِ فِي هَذَا الْعَمَلِ. فَنَفَرَضَ أَخِيرًا أَنَّهُ يُمْكِنُ تَوْصِيلُ الْعَدِيدِ مِنَ الْمَشَارِكِينَ لِاَسْلَكِيًّا وَفِي اِتِّصالِ النَّسَمِ LTE بِنَفْسِ الْعَقْدَةِ، (اتِّصالٌ أَكْثَرُ مِنْ مَشَارِكٍ فِي مَكَالِمَةِ الْفِيُوْدِيُو بِنَفْسِ مَحَطَّةِ لِنَسَمِ الْجِيلِ الرَّابِعِ مُثَلًا فِي مَنْطَقَةِ جَغْرَافِيَّةِ تَقَابِلِ مَسْتَوِيِّ مَدِينَةِ ما)، وَهَذَا الافتراضُ هُوَ لِجَعْلِ قَنَةِ الْوَصْوَلِ لِعَدِيدِ مَشَارِكِينَ بِمَكَالِمَةِ الْفِيُوْدِيُو عَرَضَةٍ لِلظَّرُوفِ اِتِّصالٍ يَتَغَيِّرُ خَلَالَهَا عَرَضُ النَّطَاقِ التَّرَدِيدِيِّ الْمَتَاحِ لِلْقَنَةِ بِالنَّسَبَةِ لِكُلِّ مَشَارِكٍ عَلَى حِدَى، هَذَا الافتراضُ هُوَ مَا يَوْطَدُ العَشَوَائِيَّةَ فِي تَغَيِّرَاتِ عَرَضِ النَّطَاقِ التَّرَدِيدِيِّ، بِهَدْفِ جَعْلِ الْمَحاَكَاهَا وَاقِعَيَّةً فِي سِيَاقِ الْمَوْضَوِعِ الْمَطْرَوِحِ هَنَا.

تحسين جودة الخدمة في الشبكات المعرفة بالبرمجيات بناءً على
يُفترض أن الشبكة مُمكّنة بمفهوم SDN وأن وحدة التحكم SDN
الجهاز Controller تدير المكالمات ولديها رؤية شاملة لكل ظروف
الشبكة وحالات الاتصال في كل من عقدها ووصلاتها. لدعم
سياق الشبكة المعرفة بالبرمجيات بمفهومها العام، نفترض أيضاً
أنه يمكن لجميع المُبدلات الاتصال بوحدة التحكم ويُفترض أن
تكون قادرة على المعالجة التكيفية لتدفقات الترميز SVC عن
طريق إسقاط (إهمال) طبقاته غير المستخدمة (غير
الضرورية)، وبهذا المنحى لا يكون دور جهاز المُبدل OVS
محصوراً فقط بتوجيه طرود البيانات عبر الشبكة كما كان عليه
الحال في الشبكات التقليدية، بل أيضاً القدرة على معالجة تلك
الطرود والتحكم بظروف الاتصال. إن عددًا من استخدامات
جهاز الشبكات المعرفة بالبرمجيات OVS تعتبر متاحة اليوم،
كمصادر تجارية ومفتوحة. وفي الأصل تعتبر أجهزة برمجيات
الشبكات المعرفة بالبرمجيات في الغالب مصادر مفتوحة قابلة
للبرمجة. وحالياً، يوجد اثنان من البدائل متاحة: المُبدل
الافتراضي المفتوح المصدر OVS [20] من شركة نيسيرا،
وإينديجو [21]. إن خطوط إنتاج مصنعي معدات الشبكات،
مثل: سيسكو، و HP و NEC و IBM و جونبير، وإكستريم، قد
أضافت دعم تدفق البيانات عبر هكذا أجهزة وبشكل مفتوح
المصدر وقابل للبرمجة لبعض من المُبدلات المتاحة تجاريًا
[22]. ويدعم الإصدار الحالي من OVS الميزات التالية
مقتبسة من [23].

- Standard 802.1Q VLAN model with trunk and access ports
 - NIC bonding with or without LACP on upstream switch
 - NetFlow, sFlow(R), and mirroring for increased visibility
 - QoS (Quality of Service) configuration, plus policing
 - Geneve, GRE, VXLAN, STT, and LISP tunneling
 - 802.1ag connectivity fault management
 - OpenFlow 1.0 plus numerous extensions
 - Transactional configuration database with C and Python bindings
 - High-performance forwarding using a Linux kernel module

زيدان، حمود

تحسين جودة الخدمة في الشبكات المعرفة بالبرمجيات بناءً على.....

Theory عن مقاربة شبكة الانترنت العالمية ويجري استخدامهما عموماً في الأدبيات، ويوجد لكل منها كيان جاهز للتعامل معه بلغة Python عبر مكتبة NetworkX [16].

نُمثّل الشبكة بيان Graph نرمز له $(V, E) = G$ حيث V هو مجموعة العقد فيه وعدد n ، و E هي مجموعة الوصلات (حواف Edges) في هذا البيان وعدد m . نشير بالرمز P إلى مجموعة المشاركين بمحادلة الفيديو ولعددهم بالرمز p . وبالتالي يكون لدينا p شجرة بـث متعدد؛ شجرة واحدة تمثل كل مشارك مُرسل لصوريته الفيديوية إلى مشاركين آخرين مستقبلين لهذه الصورة ويجري تمثيلهم كأوراق لتلك الشجرة. وبالتالي، ترتبط شجرة الإرسال المتعدد التي نرمز لها بالرمز T_i بمرسل وحيد نرمز له بالرمز r_i ويعتبر مجموعه من المستقبلات نرمز لها بالرمز R_i لتحوي العناصر r_i بحيث يتغير العدد r_i على كل القيم $1, 2, \dots, p$ مما عدا القيمة 0 التي تخص المرسل المرتبط بأولئك المستقبلين. في هذا السياق، نعتبر أن كل المشاركين مستقبلين كانوا أم مرسلين هم عقد لكل شجرة بـث متعدد تمثل فيها المستقبلات أوراق الشجرة Tree Leaves، ويمثل فيها المرسل جذر الشجرة Root. لمزيد من التوضيح في هذا السياق، تستند الفكرة في عملنا إلى تحسين جودة الخدمة من خلال مواجهة التغيرات المفاجئة في حزمة الإرسال/الاستقبال للوصلة الراديوية التي تربط المشترك بالفيديو عبر نظام الاتصال الخلوي LTE مع شبكة الاتصال الكلية المشكلة وفق مفهوم SDN، فعند أي تغيير مفاجئ في عرض الحزمة المرسلة/المستقبلة عند المستخدم يجري اعتباره كجذر في الشبكة ككل وبباقي المستخدمين كأوراق ليشكلوا مع بعضهم شجرة بـث متعددة، بحيث يجري تعديل قواعد طبقات الترميز SVC في المبدلات OVS الواقعة على جميع مسارات الشبكة SDN والتي تربط ذلك جذر شجرة البـث المتعددة هذه مع أوراقها وبما يتاسب (بشكل تكيفي) مع تغيرات عرض الحزمة الحاصلة، وهذا عند وقوع حدث هو تغير في عرض الحزمة لدى المشترك، والذي قد يكون سببه في غالب الأحيان بسبب

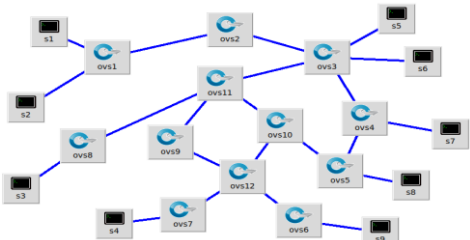
الجدول (1) مُعاملات أساسية للنظام تتضمن طبقات الترميز SVC المعتبرة (الباحث).

القيمة	الواصفة
LTE	نمط اتصال وصلات ولوح المشتركين إلى الشبكة
L1: Scalable Constrained Baseline, ~90 Kbps	طبقات الترميز SVC المتاحة، مع سرعة تراسل الفيديو وفق كل طبقة منها
L2: Scalable Baseline, ~250 Kbps	
L3: Scalable Constrained High, ~0.5 Mbps	
L4: Scalable High, ~1 Mbps	
1 Gbps	سرعة التراسل (الأوامر التحكم) المتاحة بين قلب الشبكة (المتحكم) وبين مبدلات OVS في شبكة مؤتمر الفيديو

3-2: نموذج بيان الشبكة الاصطلاحي Formal Network Graph Model

تعتبر هيكلية شبكة SDN هي المعيار الاصطلاحي الرئيسي لنطاق عملنا هنا، حيث أنها هي النموذج الشبكي وأساس المحاكاة في هذا البحث، وهي تتألف من مستخدمين مضيفين ومن متحكم Controller ومن مبدلات قابلة للبرمجة على مستوى بروتوكول OpenFlow وهذا هو ما يمثل من الناحية المفاهيمية المخطط الاصطلاحي للشبكة SDN. ولمحاكاة الشبكة SDN وفق هذا المخطط البياني الاصطلاحي، جرى في المحاكاة في هذا البحث استخدام بيانان شبكيان يحاكيان واقع شبكة ذات عدد ضخم من العقد تقارب بمفهومها شبكة انترنت، هما (ER) Erdos-R'enyi model [14] و (MP) Magoni-Pansiot model [15]، وهما نموذجان شبكيان يعبران من حيث النمذجة الرياضياتية وفق نظرية البيان Graph

أي مستقبل أو أي مرسل في الشبكة. يتوافق هذا المبدأ مع تكيف طبقات الترميز SVC في الشبكة، حيث يجري اختيار الطبقة المناسبة للترميز في كل وصلة من وصلات كل شجرة من شبكة التراسل بما يتيح مع ظروف عقد الاتصال مرسلات كانت ألم مستقبلات. من جهة أخرى، وفي شجرة محددة T_i من الشبكة وعلى عقدة x لا على التعين منها، نشير بالرمز (b, b') إلى قاعدة التكيف للابن c الخاص بالعقدة x وهذا يعني أن العقدة x يمكن أن تتلقى عبر وصلتها الهابطة بيانات فيديو بمعدل بث يساوي b ولكنها لا يمكن أن ترسل، إلى العقدة الابن لها، بيانات فيديوية عبر وصلتها الصاعدة إلا بمعدل بث يساوي b' أصغر من b ، حيث يجري في هذه العقدة سواء أكانت مرسل أم مستقبل أم عقدة مبدل) منع أو إسقاط طبقات الترميز SVC تلك التي تقابل معدلات نقل بث أكبر من b' قبل إرسال دفق بيانات الفيديو إلى الابن c لهذه العقدة. هذا بالضبط هو ما يدل على فحوى قاعدة التكيف المشار إليها هنا بالرمز (b, b') والتي تحكم عموماً خيارات معدلات بث لكل من عمليتي الإرسال والاستقبال لكل عقدة x من كل شجرة T_i في الشبكة. يمثل الشكل (1) مثالاً توضيحياً لبيان الشبكة الاصطلاحي، حيث لدينا $p = 9$ مستخدمين (مضيفين Hosts؛ s_1, \dots, s_9 مشاركين بمؤتمر الفيديو، حيث عدد العقد الكلي $n = 21$ (عدد المبدلات OVS) في الشبكة SDN يساوي 12 بالإضافة إلى عقد المشاركين)، وعدد الوصلات في الشبكة ككل يساوي $m = 22$.



الشكل (1) مثال توضيحي لبيان الشبكة الاصطلاحية

إذا كان s_1 (مع $i = 1$) هو مرسل، يكون $B(s_1)$ عرض النطاق الترددى للوصلة الصاعدة (وصلة هذا المرسل

عملية مناولة Handover ضمن شبكة اتصاله الخلوية، وهو السيناريو الذي ندرسه في ورقتنا هذه، تكون هنا أمام حدث وجب التعامل معه عبر تغيير قواعد طبقات الترميز SVC بالانتقال إلى طبقة أعلى أو أدنى Relocated up/down بحسب مقتضيات الخوارزميات المعروضة في هذا البحث. في هذا السياق، يصبح كل مُرسِل قد تغيَّر عنده عرض النطاق الترددي المرسل مثلاً يصبح جذراً لشجرة بث متعددة ممكنة، ويمكن في هذا المنحى أن يكون هناك أكثر من مرسل حصل عنده هذا، ولذلك يكون من الممكن وجود عدة أشجار بث متعددة، يجري التعامل مع مبدلاتها الموافقة في متحكم SDN وإمكانية تعديل قواعد الترميز فيها بشكل تفرعي، لضمان تحسين جودة الخدمة. بالنسبة لأي وصلة محددة بواسطة زوج من العقد (x, y) ، تجري الإشارة إلى قيمة عرض النطاق الترددي (أو قيمة السعة) بالرمز $B(x, y)$ ، ونشير إلى معدل الـ b_i (أي قيمة السعة الفعلية المفترضة والمستخدمة أصلاً في شجرة ما من شجرات المرسلين T_i) بالرمز $b_i(x, y)$ حيث تكون هذه القيمة واحدة من أجل كل مسار وصلة يربط كل مرسل بمستقبل ما في كل شجرة T_i . في الشجرة T_i ، يُشار إلى أصل العقدة الأب x في هذه الشجرة بالرمز $P_i(x)$ ومجموعة أبنائها (إن وجدت) بالرمز $C_i(x)$. في هذا السياق يكون لكل مُستقبل نفس الأصل الأب في جميع الأشجار، وذلك لأنَّه ببساطة يرتبط كل مستقبل في الشبكة بوصلة اتصال راديوي سلكي أو لا سلكي بكامل الشبكة الأم. نشير أيضاً بالرمز R إلى عرض النطاق الترددي المتاح للوصلة الهابطة بالنسبة للمستقبل R ، وبالرمز $b_i(R)$ إلى معدل نقل الـ b_i المتاح للشجرة T_i المرتبط بها هذا المستقبل. وبالمثل، نشير بالرمز (s_i, B) إلى عرض النطاق الترددي المتاح للوصلة الصاعدة بالنسبة للمرسل s_i ، وبالرمز (s_i, b_i) إلى معدل نقل الـ b_i المتاح لهذا المرسل. نفترض أيضاً، أنه في كل عقدة في الشبكة وكل شجرة مرسل منها، هناك مجموعة من قواعد التكَيَّف يتم المفاضلة فيما بينها تكيفاً مع التغيرات اللحظية لعرض النطاق الترددي الحاصلة سواء عند

زيدان، حمود

مشاكل في التسلیم)، تعيد الخوارزمية المقترحة هنا على التوازی مع القاعدة الموضوّعة حساب مُعدلات الـ*bith* وفقاً للصيغ التالية:

$$b_i^{new}(r_{ij}) = \begin{cases} b(s_i) & , b(r_{ij}) > b(s_i) \\ b_i^{previous}(r_{ij}) & , \text{otherwise} \end{cases} \quad (1)$$

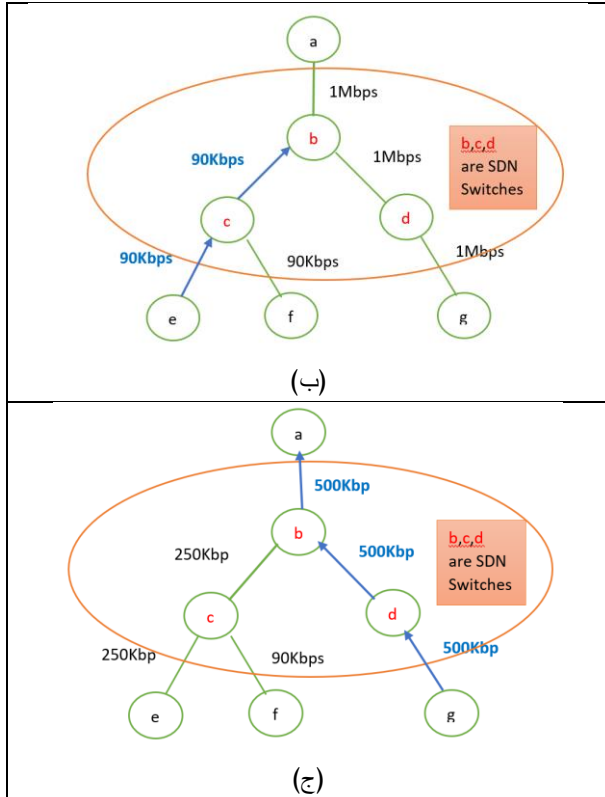
$$= \begin{cases} \max\{b_i(r_{ij})\} & , \max\{b_i(r_{ij})\} < b^{previous}(s_i) \\ b^{previous}(s_i) & , \text{otherwise} \end{cases} \quad (2)$$

في سياق التغيير الديناميكي المعتبر في هذه الدراسة، يجب استخدام الصيغ (1) (في حال حصل التغيير في النطاق الترددی عند المستقبل) و (2) (في حال حصل التغيير في النطاق الترددی عند المرسل) عند كل اختلاف طارئ في عرض النطاق الترددی. الصيغة الأولى تضمن أن جهاز الاستقبال r_{ij} يحصل على الحد الأقصى بالمقارنة بين ما يسمح به عرض النطاق الترددی (r_{ij}) للوصلة الاباطة إلى المستقبل r_{ij} مقسوماً على عدد التدفقات $1 - p$ لحزن البيانات الفيديوية الواردة إلى كل المستقبلين الآخرين الذي عددهم أيضاً يساوي $1 - p$ ، وبين ما يسمح به عرض النطاق الترددی للوصلة الصاعدة للمرسل أي عرض النطاق (s_i). تضمن الصيغة الثانية أن يرسل المرسل أقصى (max) جودة فيديو مطلوبة (r_{ij}) b المقابلة لكل مستقبل والمقابلة أيضاً لطبقه تمیز ما من طبقات الترمیز SVC الأربع المفترضة في الشبكة) ومقارنتها مع ما يسمح بها عرض النطاق الترددی للوصلة الصاعدة للمرسل (s_i). المبدأ الأساسي لخوارزمياتنا هنا هو موائمة هذه القيود دائمًا مع ظروف تغييرات عرض النطاق الترددی في عقدة ما من المرسلين أو المستقبلين ولكن مع الحد الأدنى من التعقيد الحسابي. وبالتالي، عند حدوث تغيير في عرض النطاق الترددی، يتم إعادة حساب معدلات الـ*bith* للمسار الذي يربط كل مرسل بكل مستقبل متینين إلى كل شجرة من شجرات بيان الشبكة. فإذا كان هناك تغيير في معدل الـ*bith* في جهاز استقبال، فسيتم نشر هذا التغيير ويتم دفع قواعد التكيف إلى أعلى الشجرة Up Relocate حتى يتم الوصول إلى عقدة

تحسين جودة الخدمة في الشبکات المعرفة بالبرمجيات بناءً على..... مع المبدلہ ovs1 في الشبکة) و $b(s_i) = b(s1)$ هو معدل نقل الـ*bith* المرتبط به في الشجرة T_1 المفترضة هنا، وتكون مجموعة المستقبلین (هم مرسلین أيضًا في الشبکة): $R1 = \{r12 = s2, r13 = s3, r14 = s4, r15 = s5, r16 = s6, r17 = s7, r18 = s8, r19 = s9\}$ ، في هذه الحاله لدينا الشجرة T_1 ، وفيها إذا كانت المبدلہ ovs11 هي عقدة x لا على التعيین في بيان الشبکة، عندئذ تكون العقدة الأصل الألب الخاص بها في الشجرة $T1$ هو العقدة المبدلہ $P1(ovs11) = ovs3$ ومجموعه أبناء المبدلہ ovs11 هم: $C1(ovs11) = \{ovs8, ovs9, ovs10\}$ ، وعندما المستقبل يكون $s5$ ممثلاً لأحد المستقبلین في الشجرة T_1 ، يكون ($s5$) هو عرض النطاق الترددی المتاح للوصلة الهاپطہ بالنسبة للمشترك $s5$ والتي تقابل سرعة الاتصال بالشبکة (معدل نقل الـ*bith*) التي توفرها المبدلہ ovs3 والتي يتصل بها هذا المشترك.

3-3: خوارزمیات التوجیه المطرّرة:

كما ذكرنا سابقاً، تحسب طریقتا SPT و MST أشجار الإرسال المتعدد وتتعینان وتضعان قواعد التکیف في كل عقدة فتحدادن لها قیم مُعدلات الـ*bith* المتکیفة مع التغیرات اللحظیة لعرض النطاق الترددی الحاصل عند أطراف المرسلین أو المستقبلین أو كلاهما في الشبکة الأم. نستخدم هاتین الطریقین في الخوارزمیات المطرّرة هنا في مرحلة تهیئة الشبکة المعرفة برمجیاً، أي عند البدء بإجراء المکالمه. في هذا السياق، عندما يحدث اختلاف ما (أو تغیر لحظی ما) في عرض النطاق الترددی، ونظرًا لأن إعادة حساب الأشجار مکلف ضمن أي خوارزمیة توجیه لحزن البيانات في الشبکة التقليدية، فإننا نختار عدم تغیر الأشجار التي يتم اعتمادها في مرحلة التهیئة ويجري التركیز على تعین ووضع قواعد التکیف المناسبة في كل عقدة من كل شجرة في الشبکة الأم. ولكن لضمان حصول كل مشارک على أعلى جودة فيديو يسمح بها عرض النطاق الترددی الخاص به (حتى ذلك النطاق الذي انخفض عرضه نتيجة مشاکل في الوصل الرادیویة أو مشاکل في التداخل أو



الشكل (3) مثال توضيحي لانتشار التعديلات في قيم معدلات البث
(الباحث)

يوضح الشكل (3-أ) شجرة متعددة البث حيث تكون العقدة a هي المرسل والعقد e و f و g هي المستقبلات. العقد الأخرى البنية هي مُبدلات الشبكة SDN، تظهر قيمة معدل البث لكل وصلة حافة في المسار بجانب هذا المسار. في الشكل (3-ب)، وبسبب تغيير النطاق الترددلي للوصلة الهاابطة عند المستقبل e، لم يعد معدل البث للوصلة (c؛ e) يساوي 250 كيلو بت في الثانية (نفترض هنا في هذا المثال أن عرض النطاق الترددلي عند هذا المرسل لم يعد يستطيع استقبال معدلات بث عالية بسبب انخفاض عرض النطاق الترددلي لسبب ما من الأسباب) ولكن 90 كيلو بت في الثانية. بينما لا تحتاج العقدتين e و f إلى تدفق بيانات بمعدل 250 كيلو بت في الثانية، يتم إسقاط الطبقة من طبقات الترميز SVC المقابلة لهذا المعدل عند العقدة b، التي هي عقدة أب للعقدة c. في الشكل (3-ج) يتغير معدل البث (d؛ g) من 1 ميجابت في الثانية إلى 0.5 ميجابت

تحسين جودة الخدمة في الشبكات المعرفة بالبرمجيات بناءً على.....
الم Merrill. وبالمثل، إذا حدث تغيير في معدل البث عند المرسل،
فسيتم الانتشار لأسفل .Relocate Down

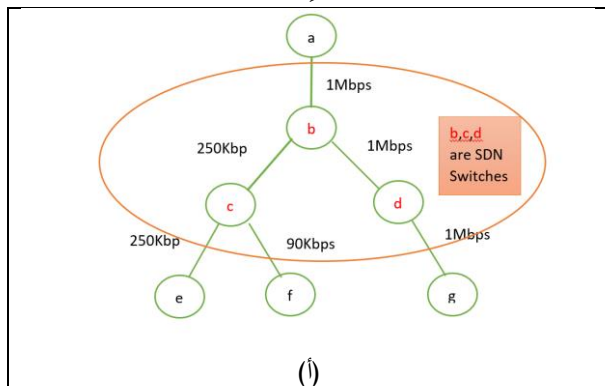
3-3-3: خوارزمية التعديل نحو الأعلى في حال حصل التغيير في عرض النطاق الترددلي عند أحد المستقبلين :Relocate Up

يُبيّن الشكل (2) التالي رمزاً pseudocode هذه الخوارزمية والتي تُطبّق نتائجه وقوع حدث مناولة لأحد مستقبلين بث الترددلي الفيديوي مع برج تغطية LTE جديد يتصل به هذا المستقبل.

```
Algorithm 1: Relocate Up
    Foreach  $s_i$  (multicast sender) do      1
        Create  $T_i$  of  $s_i$  (its receivers (leaves) & OVS nodes) 2
    Foreach receiver having Handover event in  $T_i$       3
        do
            Foreach OVS  $r$  in path of this receiver in  $T_i$  4
                do
                    Find  $P_i(r)$ ,  $c_{ij} = \{C_j(P_i(r))\}$ , 5
                    where  $1 \leq j \leq k$ ,  $k \leftrightarrow \#children$  of  $r$  6
                    Foreach  $j$  do 7
                        Calculate  $b_{max} = \max_k\{b_i(P_i(r), c_{ij})\}$  8
                        Calculate  $b_{min} = \min_i\{b_{max}, b_i(s_i)\}$  9
                        If  $b_i(P_i(r)) \neq b_{min}$  then 10
                             $b_i(P_i(r)) \leftarrow b_{min}$  11
                            Call AdaptRule for  $P_i(r)$  12
```

الشكل (2) رمزاً الخوارزمية- 1 Relocate Up في حالة وقوع حدث مناولة (الباحث).

نستعرض أفكار الحل المقترن عبر المثال التالي. يوضح الشكل (3) آلية انتشار التعديل في قيم معدلات البث على طول مسار ما من شجرة الاتصال بين المرسل وعدة مستقبلين.



زيدان، حمود

تحسين جودة الخدمة في الشبكات المعرفة بالبرمجيات بناءً على.....

متكرر لقوم بتحديث معدلات الـb حتى تصل إلى المرسل أو ليست هناك حاجة للمضي قدمًا في حال لا يحتاج المرسل إلى ذلك التعديل.

3-3-2: خوارزمية التعديل نحو الأسفل في حال حصل التغيير في عرض النطاق الترددي عند أحد المُرسِلين :Relocate Down

يبين الشكل (4) التالي رماز هذه الخوارزمية والتي تطبق نتيجة وقوع حدث مناولة لأحد مُرسلي الـb الفيديوي.

: Relocate Down2Algorithm

handover event do Foreach s_i having	1
Create T_i of s_i (its receivers (leaves) & OVS	2
Foreach receiver in T_i do	3
Foreach OVS r in path of this receiver in T_i	4
Find $P_i(r), c_{ij} = \{C_j(P_i(r))\}$, where $1 \leq j \leq k, k \leftrightarrow \#children$ of r	5
Foreach j do	6
If $b_i(r, c_{ij}) \neq b_i(P_i(r), r)$ then	7
$b_i(r, c_{ij}) \leftarrow b_i(P_i(r), r)$	8
Call <u>AdaptRule</u> for $P_i(r)$	9
	10

الشكل (4) رماز الخوارزمية-2 Relocate down في حال وقوع حدث مناولة (الباحث).

تشغل هذه الخوارزمية لتعديل قيمة معدل الـb للمرسل أي $b(s_i)$ عند حدوث تغيير ما في عرض النطاق الترددي المقابل للوصلة الصاعدة عند هذا المرسل. الطريقة المستخدمة لنشر تعديل معدلات الـb من المرسل باتجاه المستقبلين هي نفسها تقريباً في الحالة السابقة، باستثناء أن الانشار هنا يتم من المرسل إلى المستقبلات (اتجاه معاكس للخوارزمية السابقة). الفرق الرئيسي بين هذه الخوارزمية والخوارزمية المعاكسة هو أن انتشار تعديل معدلات الـb لا يتم فقط على فرع واحد من الشجرة الواسعة بين المرسل والمستقبلين (حيث في الحالة السابقة عند تغيير النطاق الترددي عند أحد المستقبلين فإن انتشار تعديل معدلات الـb يجري على مستوى الفرع الواسع بين هذا المستقبل وبين المرسل المرتبط به)، ولكن يمكن أن

في الثانية. يتم نشر هذا التغيير حتى العقدة b ، حيث لا تتطلب العقدة c ولا العقدة b مُعدل b يساوي ميغابت في الثانية، وبالتالي يتم أيضًا تكيف معدل بت العقدة الجذر المرسل a .

تعمل هذه الطريقة على تكيف معدل الـb لأعلى من جهاز الاستقبال، ولكن نادراً ما يصل هذا التعديل إلى المرسل. يحدث هذا التعديل عند المرسل فقط في الحالة التي يكون فيها معدل الـb لجهاز الاستقبال والمرسل متامثرين، ويؤثر تغيير النطاق الترددي في أحدهما على الآخر على مستوى مُعدل الـb المستخدم. الهدف من هذه الخوارزمية هو تخفيض تعقيد الحساب وتخفيض قيمة النطاق الترددي المستهلك. من أجل ذلك، توضع قواعد التكيف التي تسقط طبقات تدفقات بيانات الفيديو SVC عالية الجودة عند العقد الأقرب ما يمكن من المرسل انطلاقاً من المستقبل الذي جرى عنده تغير ما في النطاق الترددي نتيجة عارض ما في وصلته الراديوية، وهذا يقل استهلاك النطاق الترددي في كامل شبكة. تشرح الخوارزمية 1 المبينة في الرماز في الشكل (2) هذه الطريقة، حيث من أجل كل مستقبل يحصل عنده التغيير في النطاق الترددي، يجب أن ينشر التغيير في قواعد التكيف للترميز SVC بشكل متكرر في كل مرة يحصل فيها هذا التغيير ومهما كان موقع المبدلة OVS (التي نعبر عنها في الرماز بالرمز r) والتي يجب عند خرجها ودخلها وعلى طول المسار الواسع بين المستقبل والمرسل تعديل طبقات الترميز SVC. في كل خطوة من خطوات الخوارزمية، يجري ما يلي: أولاً يتحقق ما إذا كان جميع أبناء العقدة (r) $P_i(r) = \{C_j(P_i(r))\}$ يتلقون مُعدل b أقل من العقدة الأب للمبدلة r أي قيمة معدل بت تساوي b_{min} . إذا كان الأمر كذلك، فإن العقدة (r) لا تحتاج إلى استخدام معدل الـb الحالي من العقدة الأب لها $(P_i(r))$ وهنا يجري تكيف معدل الـb باستخدام قيمته الأخيرة ويجرى وبالتالي تحديث قواعد التكيف في العقدة $P_i(r)$ بواسطة الخوارزمية 3 التي هي خوارزمية تحديث قواعد التكيف والموضحة لاحقاً. تعمل الخوارزمية 1 بشكل

زيدان، حمود

تُبيّن هذه الخوارزمية آلية تحديد قواعد التكيف المقابلة لتعديل قيم معدلات البت المناسبة وذلك عند كل عقدة OVS من عقد شجرة الاتصال. عند تغيير معدلات البت الواردة والصادرة في عقدة OVS ما هي r على طول مسار توجيه الاتصال في الشبكة، يجب تحديد قواعد التكيف في مُبدلة شبكة SDN.

تأخذ الخوارزمية 3 المبينة في الشكل (5) على عائقها هذه المهمة حيث يكون دخل الخوارزمية هو عقدة r ، ومن أجل كل واحد من أبنائها، تحذف القاعدة القديمة للتكيف (تعديل قيمة معدل البت) إذا كانت موجودة وتستبدلها بالقاعدة الصحيحة (معدل بٍت جديد أي طبقة ترميز SVC مناسبة)، يُعيّر عن هذا التبديل أو الحذف من خلال التصريح عن الزوج (معدل البت الوارد إلى r من عقدته الأب، ومعدل البت الصادر من r إلى ابن r). وهكذا في أي عقدة OVS من الشبكة، توجد قاعدة واحدة يجب تحديثها لكل عقدة ابن في أسوأ الأحوال، ويكون عدد الأبناء العقد لأي عقد هو دوماً أقل من عدد المشاركين في مؤتمر الفيديو، وهذا يعطي تعقيداً لهذه الخوارزمية من رتبة عدد المشاركين؛ أي $O(p)$.

3-4: الخوارزمية العامة:

تعالج الخوارزمية العامة أربع أحداث رئيسية يكفي كل منها تغييراً ما يحصل في عرض النطاق الترددي لوصلة الاتصال التي تربط العقدة مع الشبكة الأم، وهي: 1- انخفاض عرض النطاق الترددي عند عقدة مستقبل ما r ، 2- انخفاض عرض النطاق الترددي عند عقدة مرسل ما s_i ، 3- ارتفاع عرض النطاق الترددي عند عقدة مستقبل ما r ، 4- ارتفاع عرض النطاق الترددي عند عقدة مرسل ما s_i . يجري تنفيذ الخوارزمية 4 العامة في وحدة تحكم الشبكة SDN. يجري إنشاء الاستدعاء لتشغيل هذه الخوارزمية أولاً باستخدام خوارزميات MST أو SPT نفسها المصممة أصلاً في العمل [1]. ومن ثمّ عند حصول كل حدث من الأحداث الأربع السابقة، يجري استدعاء الخوارزميات المبينة في الفقرات السابقة حيث تتفاعل وحدة التحكم مع التغيرات الحاصلة في الشبكة لتتكيف معها قيم

تحسين جودة الخدمة في الشبكات المعرفة بالبرمجيات بناءً على..... يحدث على عدة فروع وصولاً إلى الأوراق (المستقبلات) (أي من الممكن أن يتغيّر معدل البت لعدة مستقبلين مرتبطين بهذا المرسل الذي تغيّر عنده عرض النطاق الترددي وبالتالي يحصل انتشار تعديل معدل البت على عدة فروع من الشجرة التي تربط المرسل مع مستقبليه).

يُؤكّد رماز الخوارزمية 2 المبيّن في الشكل (4) (الحالة المعاكسة لخوارزمية 1) عندما ينخفض عرض النطاق الترددي للوصلة الصاعدة للمرسل مما يتطلب تخفيض معدل إرسال بيانات المرسل باتجاه مستقبليه. يبدأ هذا التعديل عند كل عقدة r على طول المسار الواصل لهذا المرسل مع مستقبليه. وعند كل من هذه العقد، إذا كان من الممكن استخدام أكثر من طبقة ترميز SVC فإنه يجب تغيير معدلات البت الفرعية $b_i(r, c_{ij})$ وتحديث قواعد التكيف. تعمل الخوارزمية 2 بشكل متكرر حتى تصل إلى كل مستقبل. وعلى عكس الخوارزمية 1 التي تبدأ من (عقدة مستقبل) ولكنها قد لا تصل إلى المرسل بشكل متكرر، فإن الخوارزمية 2 تصل دائماً إلى جهاز استقبال لمشترك واحد على الأقل، وذلك نظراً لوجود جهاز استقبال يتلقى دائماً نفس معدل البت الذي يتلقاه المرسل في وصلته الهابطة (وإلا فقد يرسل المرسل في وصلته الصاعدة معدل نقل بيانات أقل)، وعندها يجب تحديث معدل نقل بيانات جهاز الاستقبال للمشترك هذا.

3-3-3: خوارزمية قواعد التكيف الموضوعة عند كل عقدة من الشبكة سواء أكانت هذه العقدة مرسل أم مستقبل أم مُبدلة: يُبيّن الشكل (5) التالي رماز هذه الخوارزمية.

: AdaptRule3Algorithm

Foreach OVS r in path of this receiver in T_i	1
do	do
Find $P_i(r), c_{ij} = \{C_j(P_i(r))\}$,	2
where $1 \leq j \leq k, k \leftrightarrow \#children$ of r	3
Foreach j do	4
If $b_i(r, c_{ij}) \neq b_i(P_i(r), r)$ then	5
Choose the proper SVC layer	6
Else	7
Keep the SVC layer as it is	8

الشكل (5) رماز الخوارزمية-3 AdaptRule 3 (الباحث).

معدل البت الجديد للوصلة الهاابطة للعقدة المستقبل باتجاه المرسل أعلى الشجرة المرتبط به. 2) يتأثر معدل نقل البيانات الخاص بالمرسل المرتبط بالمستقبل، وفي هذه الحالة يمكن أن يؤثر بدوره على معدلات نقل البيانات الخاصة بالمستقبلات الأخرى التي تكون على مستوى شجرة الاتصال T_i .

4- نماذج تقييم الحل المقترن:

من أجل تقييم كفاءة الحل المقترن، تجرى عمليات محاكاة للمقارنة مع ثلاثة خوارزميات توجيه:

- خوارزمية أحادية الإرسال (UNI) Unicast method التي تعيد حساب المسار عند وقوع أي حدث من الأحداث الأربع. تقييد هذه الخوارزمية بأنه عند كل تغيير في النطاق الترددلي للوصلة عند كل مشارك، تجري إعادة حساب أقصر المسارات بين كل زوج من المشاركين.

- طريقة MST المنشورة في العمل [1].
- طريقة SPT المنشورة في العمل [1].

الخوارزمية المقترنة في هذا البحث نسميتها -MST- adapt. يتم تغيير طريقة MST الموضحة في العمل [1]، لإنشاء مكالمة فيديو، ثم يجري تكيف أشجار البت المتعددة عند وقوع أي حدث وفقاً للخوارزمية 4 المقترنة.

تجرى عمليات المحاكاة على نوعين من الطبولوجيا العشوائية للشبكة وب أحجام مختلفة: الأول هو (ER) Erdos-Renyi [14] والثاني هو (MP) Magoni-Pansiot [15] وهو نوعاً طبولوجيا غير متدرجة scalefree topology مستمد من شبكات حقيقة. ونفترض مؤتمر الفيديو مؤلف من 6 مشاركين لكل مكالمة فيديو تحصل، ونفترض حصول 10 أحداث بشكل عشوائي أثناء تشغيل المحاكاة (من نمط الأحداث الأربع المذكورة آفأ). يتم الحصول على كل نتيجة محاكاة بإعادة 100 مرة (تشغيل الخوارزمية 100 مرة)، ومن ثم حساب المتوسط لكل مؤشر قياس (متوسط عرض النطاق الترددلي المستهلك، زمن المعالجة) وذلك من أجل كل مخطط شبكة مستخدم ER و MP.

معدلات البت لتوضع متناسبة مع أشجار الإرسال المتعددة البت حسبما يتغير عرض النطاق الترددلي في أطراف شجرات الاتصال لكل مرسل من المرسلين. تُبيّن ما يجري بسبب الأحداث الأربع السابقة فيما يلي:

-1- تناقص عرض النطاق الترددلي للوصلة الهاابطة للعقدة المستقبلة r . يمكن أن يؤدي هذا إلى تغيير معدل البت للمرسل (b_{s_i}) لكل شجرة T_i بحسب المعادلات (1,2). في هذه الحالة يعاد، باستخدام الخوارزمية 1، حساب معدلات البت ويتم نشر معدل البت الجديد للعقدة r في جميع الأشجار.

-2- انخفاض عرض النطاق الترددلي للوصلة الصاعدة من العقدة s_i المرسل. يمكن أن يؤثر هذا على معدل بت مستخدم عند s_i وكذلك على معدلات البت الخاصة بالمستقبلات المرتبطة بها، ولكن فقط في الشجرة T_i حيث يكون فيها s_i هو المرسل. يتم نشر التغيير في معدل البت باستخدام الخوارزمية 2 على عقدة الوصول للعقدة s_i ، وبشكل متتابع على أبنائها في شجرة الاتصال T_i .

-3- ازدياد عرض النطاق الترددلي للوصلة الصاعدة للعقدة المرسل s_i . مرة أخرى، يمكن أن يؤثر هذا على معدلات البت في s_i والمستقبلات المرتبطة بها. بعد إعادة الحساب لمعدلات البت على وصلات الشجرة T_i ، إذا لم تغير معدلات بت المستقبلات، فلا داعي لنشر معدل البت الجديد للعقدة s_i ، لأنه لا يمكن لأي مستقبل الحصول على معدل بت أعلى منه. وبخلاف ذلك، يتم نشر معدلات البت الجديدة في T_i باستخدام الخوارزمية 1.

-4- ازدياد عرض النطاق الترددلي للوصلة الهاابطة للعقدة المستقبلة. هذه الحالة الأكثر تعقيداً نظراً لأنها، وفقاً للمعادلات (1,2)، يمكن أن يؤثر هذا التغيير في النطاق الترددلي على جميع معدلات البت في جميع الأشجار (باستثناء الحالة التي يكون فيها تغيير النطاق الترددلي عند المرسل فقط). لكل شجرة حالتان محتملتان: 1) لا يتأثر معدل نقل البيانات الخاص بالمرسل المرتبط بالعقدة المستقبلة، وفي هذه الحالة، يتم نشر

الشبكة بين بعضهم البعض، وإعلامهم بتعديل آلية اعتماد طبقات الترميز SVC باستخدام إما نطاق ترديي أعلى أو أدنى وتوحيده على طول المسار بين مشتركين معينين يشكلون فيما بينهم شجرة متعددة البث يكون فيها إما المرسل للفيديو أو أحد المستقبلين للفيديو قد طرأ عنده تغير فجائي ديناميكي في عرض حزمة الاتصال الخاصة به. نفترض أنه يحدث الاختلاف في النطاق الترديي نتيجة حدث مناولة عند نقاط الولوج points access اللاسلكية، الخاصة ببرج التغطية، للوصلتين الصاعدة او الهابطة التي تصل المشترك بمؤتمر الفيديو مع شبكة LTE أثناء حركته السريعة في اتجاه ما أو أنه في حالة حركة محلية بطيئة بالقرب من برج التغطية؛ وقد يختلف عرض النطاق الترديي ذاك خلال مدة المكالمة نتيجة التبدل بين برجي تغطية أثناء الحركة. في محاكتنا، يجري إعادة إنتاج تباين variance لعرض النطاق عن طريق اختيار عشوائي، في كل مرة، قيمة عشوائية من المجال الزمني [4] ميغابت في الثانية، 14 ميغابت في الثانية] للسعة الترددية للوصلة الهابطة ومن المجال [500 كيلوبت في الثانية، 1.5 ميغا بت في الثانية] للسعة الترددية للوصلة الصاعدة. لتتكيف الشبكة مع هذه الاختلافات في عرض النطاق الترديي، نعيد حساب الأشجار متعددة البث (إعادة تعين مسارات تراسل الفيديو عبر إعادة تعين مبدلات الشبكة وبالتالي مسارات جديدة بين كل مشتركين مثنى مثنى) ونطبق قواعد Relocated up/Down على باستخدام الخوارزمية المقترنة. وأخيراً نقارن النتائج مع خوارزميات UNI, MST, STP.

5-2 استعراض النتائج:

للحصول على نتائجنا في هذا البحث، نبدأ أولاً بإنشاء 20 هيكلًا عشوائياً من كل نوع طبولوجيا للشبكة المفترضين (ER و MP) وكل منهم حجم شبكة متغير بين القيم: (500 و 1000 و 2000 و 4000). بعد ذلك، لكل واحدة من هذه الهياكل، نقوم بتوصيل المشتركين بشكل عشوائي بسعات تردديّة للوصول (الهابط أو الصاعد) تكون مختلفة. نقوم بـ تكرر هذا

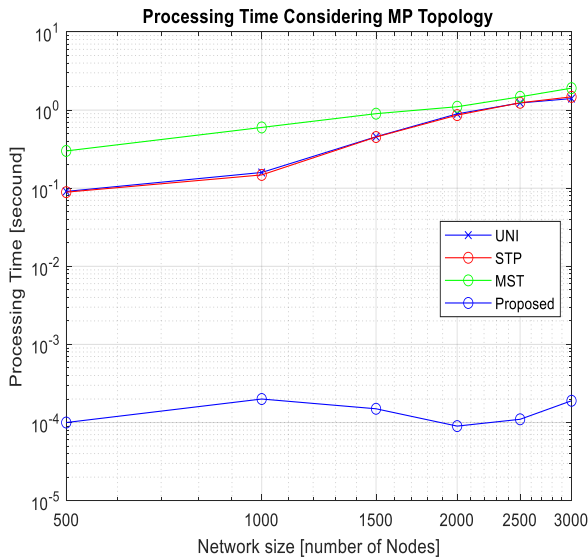
هدف هذا البحث إلى تقدير المقابلة trade-off التي يقوم بها الحل المقترن وذلك بين توفير استهلاك عرض النطاق الترديي وبين وقت المعالجة (حيث أنها مطلباً متناقضان في تصميم خوارزمية التوجيه المدرسوة هنا). عموماً، من الواضح أن طريقي MST و SPT يجب أن تنتجا توفيراً متساوياً في عرض النطاق الترديي نظراً لأنها تعيد حساب أشجار البث المتعدد وتحل محل قواعد تكيف SVC في كل حدث بحسب نتائج العمل [1]. ومع ذلك، سوف يُظهر الحل المقترن في هذا العمل تعقیداً حسابياً أقل مما يؤدي إلى تقليل وقت المعالجة والموارد المستخدمة مثل طاقة التغذية للأجهزة المشاركة بالمؤتمرات.

5-3 النتائج:

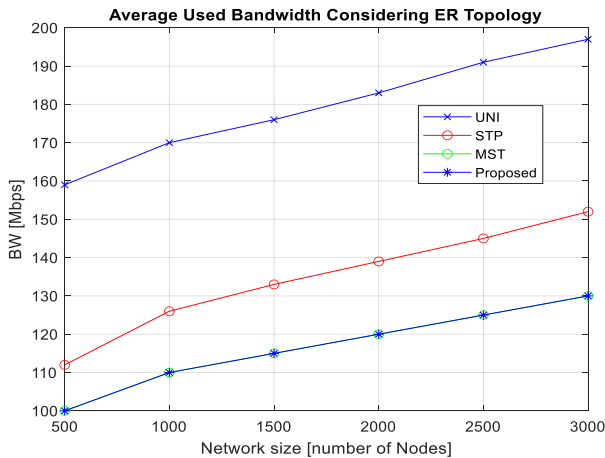
5-1 بيئة ونموذج المحاكاة:

نجري المحاكاة على بيئة عمل وفق نظام تشغيل Ubuntu 20.04 [17] وباستخدام منصة Spyder [18] من خلال لغة برمجة Python 3 [19] وتحديداً باستخدام حزمة مكتبات NetworkX package [16] بهدف تعين خصائص الشبكة المعمول بها في المحاكاة واستخدام توابع برمجية جاهزة لذلك. وفيما يخص نموذج المحاكاة فهو كما يلي. نفترض في الشبكة أن معملاً معييناً مثل عرض النطاق الترديي لإرسال أو الاستقبال حزم الفيديو هي في حالة تغير ديناميكي ناتج عن أحداث مناولة. والهدف من المحاكاة تبيان قدرة الخوارزميات المقارنة فيما بينها في الحصول على أقل قدر ممكن من استهلاك النطاق الترديي المتاح لسرعة الاتصال في كامل الشبكة. فعند التغير في عرض الحزمة الترددية للإرسال أو الاستقبال عند طرف المشترك بمكالمة الفيديو، تتجلى فكرة الخوارزمية المقترنة في إعادة تنظيم وترتيب حزم النطاق الترديي المتاح عبر مسارات الشبكة التي تصل المشتركين بين بعضهم البعض وذلك من خلال فكريتي Relocated up/Down، ويجرى التحكم بذلك من خلال مركز التحكم الرئيسي في شبكة SDN Controller الذي يقوم بالإيعاز إلى المبدلات OVS على طول المسارات التي تصل المشتركين في

Deterministic (متوسط القيم الناتجة عن المحاكاة) بشكل عشوائي، وما يهمنا في هذا الشكل هو مقارنة القيمة مع قيم باقي الخوارزميات مع زيادة عدد العقد.



الشكل (7) قيم زمن المعالجة باعتبار النموذج MP في حين يُبيّن الشكل (8) قيم متوسط عرض النطاق الترددي المستهلك في الشبكة باعتبار النموذج ER.

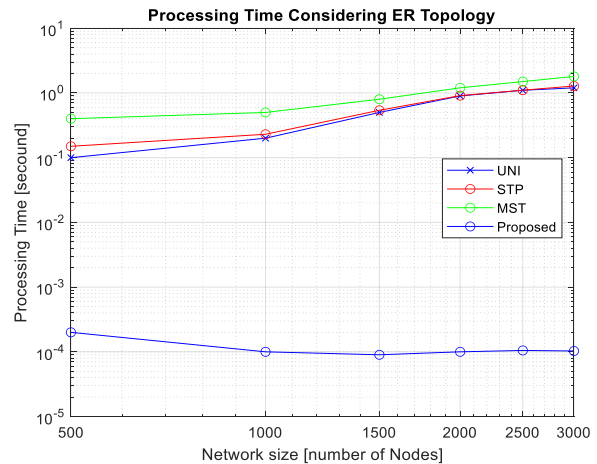


الشكل (8) متوسط عرض النطاق الترددي المستهلك في الشبكة باعتبار النموذج ER

وأما الشكل (9) فيوضح قيم متوسط عرض النطاق الترددي المستهلك في الشبكة باعتبار النموذج MP.

السيناريو 20 مرة للحصول على 20 حالة مختلفة. وبالتالي، فإن كل نقطة في المخططات التي استعرضناها في فقرة النتائج هي متوسط القيم التي جرى الحصول عليها من (20*20) 400 محاكاة فعلية للشبكة من أجل كل نوع، وهذا بالطبع يتطلب موارد حاسوبية عالية الأداء من حيث قوة المعالج وذاكرة الوصول العشوائي RAM ونظام تشغيل مناسب، وهو ما حققناه باستخدام جهاز حاسوب لابتوب من الجيل 11 intel core i9، 16 GB of RAM.

كما نوهنا سابقاً في الفقرة 3-2، نقوم بإجراء المعاكمة من أجل نموذجين مقاربين للواقع العملي الفعلي من طبولوجيا الشبكة، الأول هو (ER) Erdos-Renyi والثاني هو Magoni-Pansiot (MP). يُبيّن الشكل (6) قيم زمن المعالجة باعتبار النموذج ER. تجد الإشارة هنا إلى أن المنحنى في الشكل (6) لا يُفسّر على أساس تناقص الزمن مع زيادة عدد العقد، فليس ثمة معادلة حتمية ممكنة تحكم تغيرات هذا الشكل البياني، وإنما هو مؤشر مقارنة مع قيم باقي الخوارزميات، حيث أنه حتى ولو جرت زيادة عدد حالات المعاكمة ليس من الضروري أن يُبيّن المنحنى البياني في هذا الشكل تناقصاً مع زيادة عدد العقد.



الشكل (6) قيم زمن المعالجة باعتبار النموذج ER

وأما الشكل (7) فُنُظِّهر قيم زمن المعالجة باعتبار النموذج MP. ننوه هنا أيضاً إلى أن المنحنى البياني في الشكل (7)، كما في حالة الشكل (6) لا يمتلك خصائص رياضية محددة

بكل الأحوال، يحقق الحل المقترن سرعة أكبر بكثير من حيث زمن المعالجة من باقي حالات المقارنة.

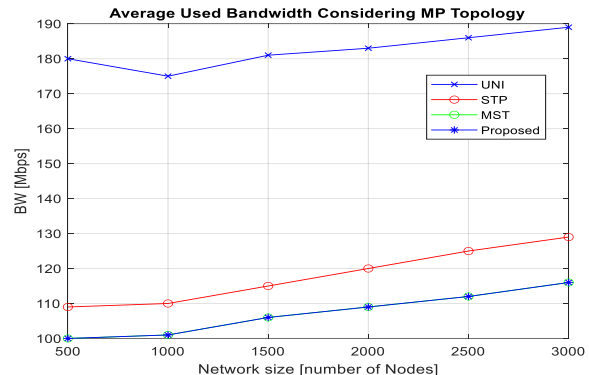
تظهر النتائج بالنسبة لكل من الطرلوجيتيين MP, ER وبأحجام مختلفة أن نهجنا في استبدال قواعد التكيف مع الترميز SVC في أشجار البث المتعدد يتكيف جيداً مع التغيير الديناميكي لعرض الحزمة عند طرف أحد المشاركين بمؤتمر الفيديو. ولما كانت الخوارزميات المقترنة في [1] فعالة جداً في إنشاء مكالمة فيديو، فإن خوارزميات التكيف لدينا أكثر ملاءمة للحصول على سرعة كبيرة لمعالجة الاختلافات المختلفة في عرض النطاق الترددي المتاح في الوصلة الراديوية للمستخدم المشارك في مؤتمر الفيديو والتي يمكن تحدث أثناء المكالمة (اعتبرنا هذه الأحداث تحصل بشكل عشوائي أثناء المحاكاة وبتكرار عشوائي أيضاً).

5- تفسير النتائج:

الخوارزمية UNI هي المعيار التقليدي القديم فيما يخص تحديد مسارات توجيه حزم الترددية الفيديو وهي لا تعالج مسألة تخفيف استهلاك النطاق الترددي ولا تعالج مسألة وجود تغيرات ديناميكية في عرض النطاق الترددي للوصلات الهاابطة والصاعدة التي تربط المشتركين بالشبكة ككل. فهي إذن أسوأ حالة مقارنة.

الخوارزمية MST تبني الشجرة متعددة البث بحيث تتضمن أقصر الطرق بين المشتركين من حيث تعين المبدلات التي تتطلب أقل قدر من استهلاك النطاق الترددي المتاح بغض النظر عن وجود تغيرات ممكنة عند طرف المشترك، فهي وبالتالي تحقق هدف تخفيف استهلاك النطاق الترددي المتاح ولكن ذلك على حساب جودة الخدمة. ولذا فـأداءها هو الأقرب إلى نتائج الخوارزمية المقترنة من حيث استهلاك عرض النطاق الترددي فقط ولكنها تبدي أداء هو الأسوأ من حيث زمن الاستجابة Response Time.

بينما الخوارزمية STP تبني الشجرة متعددة البث بحيث تتضمن أقصر الطرق بين المشتركين من حيث تعين المبدلات التي



الشكل (9) - قيم متوسط عرض النطاق الترددي المستهلك في الشبكة باعتبار النموذج MP

نجري عمليات المحاكاة بتغيير عدد عقد الشبكة الكلية لتراوح بين 100 عقدة إلى 3000 عقدة بخطوة زيادة تساوي 500 عقدة إضافية في كل مرة. تجري المقارنة بين الخوارزمية المقترنة وبين كل من الحالة التقليدية الموافقة للإرسال أحادي البث Uni-Cast والحالة STP ومبيين في المرجع [1].

يُظهر الشكل (6) أن الحل المقترن أسرع بكثير من مواد المقارنة في حالة الشبكة ER، فعلى سبيل المثال، ومن أجل شبكة مؤلفة من 3000 عقدة، تستغرق المعالجة حوالي 0.3 ميلي ثانية، في حين باقي الحالات تستغرق على الأكثر حوالي 2 ثانية وعلى الأقل حوالي 300 ملي ثانية. نحصل على نتيجة مشابهة في حال اعتبار الشبكة من النموذج MP كما يُبيّن الشكل (7). فيما يخص عرض النطاق الترددي المستهلك، يُبيّن الشكلان (8) و(9) أن الحل المقترن يعطي أداءً مشابهاً للحل MSP في المرجع [1]، وكل منها يستهلك عرضاً ترددياً أقل من باقي الحالات وبأداء متقارب، وذلك سواء أكان نموذج الشبكة المستخدم هو ER أو MP. إن خوارزمية MST تعطي قدرة على تخفيف استهلاك عرض النطاق الترددي في الشبكة لكل مقارنة مع الخوارزمية المقترنة إلا أنها تقنية لا تتعامل مع التغيرات الديناميكية المحتملة عند طرف المشتركين للنطاق الترددي للوصلتين الصاعدة والهابطة ولذا فالنتائج في هذين الشكلين متقاربة بين هذه الخوارزمية والخوارزمية المقترنة.

زيدان، حمود

كبير جداً وهو ما لم يمكننا تحمله بسبب محدودية الموارد الحاسوبية التي بين أيدينا.

5-4 كلمة حول تعقيد الخوارزمية:

إن عدد المشاركين في مؤتمر الفيديو أصغر بكثير من حجم الشبكة (عدد العقد فيها)، وهذا يعني أن $n < p$. فإذا اعتربنا حجم n الشبكة كمعامل قياسي، فإن الخوارزمية العامة 4 تعالج كل حدث من الأحداث الأربعية المذكورة في نهاية الفقرة 3، في زمن يعادل رتبة تعقيد كثير حدود $O(n)$ إذا كان قطر بيان الشبكة خطياً و زمن يعادل رتبة تعقيد $O(\log n)$ في حالة الأكثر واقعية حيث يكون القطر لوغاريتmic. هذا التعقيد أقل بكثير من تعقيد خوارزميات MST/ SPT الذي يساوي $O(n^3)$ إذا كانت الشبكة كثيفة Dense ويساوي في حال m شبكة متفرقة sparse $O(n^2 \log n)$ كما وُجد في العمل [1]. وهكذا فالتعقيد الأقل عند معالجة حدث ما من الأحداث الاربعة يعني موارد أقل استهلاكاً في وحدة التحكم SDN وكذلك تفاعل أفضل للمشاركين (تجربة خدمة أفضل) في مؤتمر الفيديو. يختصر إن تعقيد الخوارزمية المقترحة يرتبط خطياً فقط بعدد العقد n الكلي التي تشكل شبكة SDN وتعطي أداء حسابي منخفض نسبياً مقارنة بالخوارزمية المقارة سواء في زمن التنفيذ على منصة المتحكم Controller أو في الزمن الحقيقي أثناء تفعيل المكالمة بين المشاركين.

الخاتمة والآفاق المستقبلية والتوصيات:

تُنشئ مؤتمرات الفيديو عبئاً ثقيلاً على شبكات الولوج access network الحالية نظراً للحجم الكبير لبيانات الفيديو. يمكن أن يؤدي تحسين أنظمة مؤتمرات الفيديو إلى توفير كبير في النطاق الترددى لمشغلى الشبكات ويمكن أن يزيد من قدرتهم على خدمة عدد أكبر من المستخدمين بالإضافة إلى تحسين جودة التجربة الخاصة بهم. يتيح ظهور SDN حلولاً جديدة لتحسين إدارة الفيديو.

لم نطرح في هذا البحث مشكلة تعاني منها SDN إنما بحثنا في تحسين جودة الخدمة للتراسل الرقمي الفيديوي باستخدام هذا

تحسين جودة الخدمة في الشبكات المعرفة بالبرمجيات بناءً على..... تتطلب أقل قدر من زمن الانتقال Latency وأيضاً بعض النظر عن وجود تغيرات ممكنة عند طرف المشترك، فهي وبالتالي لا تتحقق هدف تخفيف استهلاك النطاق الترددى المتاح بل تخفيف قيمة زمن الانتقال، ولكن هذه الخوارزمية لا تبدي أي تصرف اتجاه زمن الاستجابة ولذا كانت نتائجها وفق هذا المعيار أقرب إلى خوارزمية UNI.

أما في حالة خوارزمية المقترحة فهي تعالج مسألة التغيرات الديناميكية في عرض النطاق الترددى للوصلات الهاابطة والصاعدة للمشتركتين بحيث تؤمن أقل قدر من استهلاك النطاق الترددى المتاح (السرعة المتاحة لراسل الفيديو عبر كامل مسارات الشجرة متعددة البث) أمام تلك التغيرات وتكون هذه المعالجة بسرعة أكبر مما أدى إلى نتائج زمن معالجة أقل مقارنة بكل طرائق توجيه الفيديو وفق الخوارزميات التي نقارن معها في هذا البحث MST, STP, UNI.

وأخيراً، وليس آخرأ، نلاحظ في الشكلين 8 و 9 أنه لا يوجد تغير ملحوظ في عرض النطاق من 500 حتى 1000 عقدة. تعليقاً على هذه الملاحظة، وفيما يخص شبكات SDN، نقول إن تحسين جودة الخدمة في مجال التراسل الرقمي الفيديوي هو الهدف الأساسي من مفهوم شبكة SDN أصلأً ولكن في حال كثافة كبيرة للعقد، لذا كان هدف الدراسة هنا هي إحداث تحسين في حالة شبكات ضخمة جداً (يكون فيها المشتركتين في الفيديو متباعدين جغرافياً قد يكونوا في قارات مختلفة وبالتالي يكون عدد العقد كبير جداً) وما يهمنا في النتائج هو التغير الملحوظ في تخفيف استهلاك النطاق الترددى المتاح في الشبكة من أجل عدد من العقد كبير جداً وهو ما بينته الاشكال 8 و 9، وحيث يزداد التحسين في تخفيف استهلاك النطاق الترددى المتاح أيضاً من أجل عدد من العقد اكبر من 3000 كما لاحظنا في عدة تجارب محاكاة منفصلة. ولكن في نطاق استعراض نتائج البحث اكتفينا في حالة عقد حتى 3000 حيث أن اعتبار عقد أكبر بكثير من ذلك سوف يكلف وقت محاكاة

زيدان، حمود

تحسين جودة الخدمة في الشبكات المعرفة بالبرمجيات بناءً على.....

موارد الشبكة من سرعة تراسل متاحة. تُظهر هذه الخوارزميات تكيفاً سريعاً نظراً لانخفاض درجة تعقيدها الحسابي مما يسمح بالتفاعل العالي مع تغييرات الشبكة وانخفاض استهلاك الموارد. كأفاق مستقبلية، نخطط لنقل وتشغيل خوارزمياتنا إلى وحدة تحكم SDN مثل Ryu Controller مثل Python [24]، من أجل إجراء تجرب على شبكة افتراضية يجري إنشاؤها بواسطة برمجية Mininet [25]. سيمكنا ذلك من تأكيد النتائج الحالية على نطاق أوسع. ستكون الخطوة التالية بعد ذلك نشرها على شبكة SDN فعلية يمكن تجييزها بالتعاون مع الهيئة الناظمة لقطاع الاتصالات والبريد في سوريا. وفي هذاخصوصي بتكييف الأبحاث حول الشبكات المعرفة بالبرمجيات SDN، وتعيين مناهج دراسية وتدريبية في جامعة دمشق تكون خاصة بهذا المفهوم العصري في مجال تكنولوجيا المعلومات.

التمويل: هذا البحث ممول من جامعة دمشق وفق رقم التمويل(501100020595).

المفهوم من الشبكات كبديل عن الشبكات التقليدية، وقد اقترحنا خوارزمية موافقة لمسألة توجيه حزم الفيديو المنقلة عبر مسارات محسوبة في شبكة معرفة برمجياً بشكل يتاسب مع هيكلية هذه الشبكة وخصوصيتها كبديل للشبكات التقليدية والخوارزميات المعمولة فيها مثل UNI, MST, STP.

الشبكات المعرفة بالبرمجيات هو حل ناجع وبديل عن الشبكات التقليدية من حيث تخفيض التكالفة وقدرة أكبر على التحكم برمجياً بظروف الشبكة وأمثلتها من خلال متحكم مركزي. وحتى نحصل على هذه الميزة يجب معالجة جانب من جوانب النظام ألا وهو توجيه الحزم، ولذا اقترحنا خوارزمية توجيه الحزم عبر فكرة relocate up/down. لتحسين جودة الخدمة، وهنا لدينا مؤشر للقياس هو تخفيض استهلاك النطاق الترددي و الزمن المعالجة.

من أجل تقليل استهلاك عرض النطاق الترددي في الشبكة الأساسية مع توفير أفضل جودة فيديو ممكنة للمستخدمين، اقترحنا في هذه الورقة خوارزمية لإنشاء نظام مؤتمرات فيديو يستفيد من الشبكات التي تدعم SDN وتوجيه حزم البيانات. ينقل الحل تدفقات الفيديو باستخدام أشجار البث المتعدد أثناء تطبيق تعديلات قواعد التكيف على مستوى طبقة SVC داخل الشبكة لتكييف تدفقات حزم البيانات مع خصائص شبكة ولوح المستخدمين، وهي LTE. تظهر نتائجنا أن حلنا يوفر مزيداً من النطاق الترددي مقارنة بالأنظمة السابقة الموجودة في الشبكات التقليدية ويزيد من عدد المكالمات المتزامنة التي تدعمها الشبكة.

لقد صممنا الخوارزمية لتكيف تدفقات الفيديو ديناميكياً مع اختلافات النطاق الترددي لقنوات ولوح المستخدمين عند حصول أحداث مناولة مع أبراج تغطية LTE. من أجل ذلك اقترحنا خوارزميات تكيف، بناءً على أفكار الأشجار متعددة البث، والتي لا تتطلب إعادة حساب أشجار الإرسال المتعدد (أي إعادة تكوين مسارات الاتصالات) للمكالمة، بل إعادة تعيين طبقات الترميز SVC بشكل يتاسب مع تلك الاختلافات

- [11] M. Vutukuru, H. Balakrishnan, and K. Jamieson, “Cross-layer wireless bit rate adaptation,” ACM SIGCOMM Computer Communication Review, vol. 39, no. 4, pp. 3–14, 2009.
- [12] Z. Ding, J. Wu, W. Yu, Y. Han, and X. Chen, “Pseudo analog video transmission based on LTE physical layer,” in IEEE/CIC International Conference on Communications in China, 2016.
- [13] D. He, C. Lan, C. Luo, E. Chen, F. Wu, and W. Zeng, “Progressive pseudo-analog transmission for mobile video streaming,” IEEE Transactions on Multimedia, 2017.
- [14] B. Bollobás and O. Riordan, “The diameter of a scale-free random graph,” Combinatorica, vol. 24, no. 1, pp. 5–34, 2004.
- [15] D. Magoni and J. Pansiot, “Internet topology modeler based on map sampling,” in IEEE Symposium on Computers and Communications, 2002, pp. 1021–1027.
- [16] <https://networkx.org/>
- [17] <https://releases.ubuntu.com/focal/>
- [18] <https://www.spyder-ide.org/>
- [19] <https://www.python.org/downloads/>
- [20] Production quality, multilayer open virtual switch. Open vSwitch; December IS, 2013. Retrieved from <openvswitch.org>.
- [21] Open thin switching, open for business. Big switch networks; June 27, 2013. Retrieved from <www.bigswhitch.corn/topics/introduction-of-indigovirtual-switch-and-switch-I-ight-beta>.
- باول جورنسون وتشاك بلاك، الشبكات المعرفة [22] بالبرمجيات المفهوم الشامل، ترجمة أ.يمين بن أحمد العدناني، 2019. مركز البحوث والدراسات، المملكة العربية السعودية، ISBN: 978-603-8276-13-6
- [23] <https://docs.openvswitch.org/en/stable/intro/what-is-ovs/>.
- [24] <https://ryu-sdn.org/>.
- [25] <http://mininet.org/>.
- [26] Xiaodong Shi et al, Multi-QoS adaptive routing algorithm based on SDN for satellite network, IOP Publishing. Series: Materials Science and Engineering 768 (2020) 052035 doi:10.1088/1757-899X/768/5/052035.

References:

- [1] C. Al Hasrouny, C. Olariu, V. Autefage, D. Magoni, and J. Murphy, “SVC Videoconferencing Call Adaptation and Bandwidth Usage in SDN Networks,” in IEEE Global Communications Conference, 2017.
- [2] H. Schwarz, D. Marpe, and T. Wiegand, “Overview of the scalable video coding extension of the H.264/AVC standard,” IEEE Trans. on circuits and systems for video technology, vol. 17, no. 9, pp. 1103–1120, 2007.
- [3] M. D. De Amorim, O. Duarte, and G. Pujolle, “Single-loop packet merging for receiver-oriented multicast multi-layered video,” in IEEE International Conference on Communications, 1999.
- [4] K. Katrinis, B. Plattner, B. Brynjúlfsson, and G. Hjálmtýsson, “Dynamic adaptation of source specific distribution trees for multiparty teleconferencing,” in ACM Conference on Emerging Network Experiment and Technology, 2005.
- [5] V. Chandrasekar and K. Baskaran, “Performance of video conferencing in unicast and multicast communication using protocol independent multicast routing,” International Journal of Computer Science and Telecommunications, vol. 2, 2011.
- [6] M. Zhao, B. Jia, M. Wu, H. Yu, and Y. Xu, “Software defined network enabled multicast for multi-party video conferencing systems,” in IEEE International Conference on Communications, 2014, pp. 1729–1735.
- [7] S. Laga, T. Van Cleemput, F. Van Raemdonck, F. Vanhoutte, N. Bouten, M. Claeys, and F. De Turck, “Optimizing scalable video delivery through OpenFlow layer-based routing,” in IEEE Network Operations and Management Symposium, 2014.
- [8] E.-z. Yang, L.-k. Zhang, Z. Yao, and J. Yang, “A video conferencing system based on sdn-enabled svc multicast,” Frontiers of Information Technology & Electronic Engineering, vol. 17, no. 7, pp. 672–681, 2016.
- [9] D. Wu, Y. T. Hou, W. Zhu, Y.-Q. Zhang, and J. M. Peña, “Streaming video over the internet: approaches and directions,” IEEE Trans. on circuits and systems for video tech., vol. 11, no. 3, pp. 282–300, 2001.
- [10] L. De Cicco, S. Mascolo, and V. Palmisano, “Skype video responsiveness to bandwidth variations,” in ACM Int'l Work. on Network and Operating Systems Support for Digital Audio and Video, 2008, pp. 81–86.

زيدان، حمود

تحسين جودة الخدمة في الشبكات المعرفة بالبرمجيات بناءً على.....

[27] Yingcheng Zhang1and Gang Zhao, LSEA: Software-Defined Networking-Based QoS-Aware Routing Mechanism for Live-Soccer Event Applications in Smart Cities, Wireless Communications and Mobile Computing, 2020, <https://doi.org/10.1155/2020/8829868>.

[28] Majda Omer Elbasheer, Abdulaziz Aldegheishem, Jaime Lloret, Nabil Alrajeh, A QoS-Based routing algorithm over software defined networks, Journal of Network and Computer Applications, Volume 194, (2021), ISSN 1084-8045.

[29] Yusuf, M.N.; Bakar, K.b.A.; Isyaku, B.; Osman, A.H.; Nasser, M.; Elhaj, F.A. Adaptive Path Selection Algorithm with Flow Classification for Software-Defined Networks. Mathematics (2023), 11, 1404. <https://doi.org/10.3390/math11061404>.

[30] Gong, J., Rezaeipanah, A. A fuzzy delay-bandwidth guaranteed routing algorithm for video conferencing services over SDN networks. Multimed Tools Appl 82, 25585–25614 (2023). <https://doi.org/10.1007/s11042-023-14349-6>.

[31] Bin Zhang, SDN Control Strategy and QoS Optimization Simulation Performance Based on Improved Algorithm, Computational Intelligence and Neuroscience, (2022), <https://doi.org/10.1155/2022/7167957>.

[32] T. S. Andjamba and G. -A. L. Zodi, "A Load Balancing Protocol for Improved Video on Demand in SDN-Based Clouds," 2023 17th International Conference on Ubiquitous Information Management and Communication (IMCOM), Seoul, Korea, Republic of, 2023, pp. 1-6, doi: 10.1109/IMCOM56909.2023.10035591.